

**49889**

T.C  
**TRAKYA ÜNİVERSİTESİ**  
**TIP FAKÜLTESİ**  
**ORTOPEDİ ve TRAVMATOLOJİ**  
**ANABİLİM DALI**

**KEMİK GREFTLERİNİN REVASKÜLARİZASYONU**  
(Tavşanlarda Deneysel Araştırma)

**T 49889**

**Tez Yöneticisi**

**Doç.Dr. Erol YALNIZ**

**(Uzmanlık tezi)**

**Dr. Aziz KURTULUŞ**

**Edirne - 1996**

Trakya Üniversitesi Tıp Fakültesi, Ortopedi ve Travmatoloji Anabilim Dalındaki uzmanlık eğitimim süresince yarattıkları hoşgörülü ve bilimsel ortam içerisinde bana sundukları bilgi ve deneyimleriyle, yetişmemde emeği geçen hocalarımıma sürekli sevgi ve yardımlarını gördüğüm ve beraber çalışmaktan mutluluk duyduğum asistan arkadaşlarımı ve diğer tüm çalışanlara Anabilim Dalı Başkanı'mız ve değerli hocam sayın Prof. Dr. Mişel Kokino'nun saygın ve yapıcı kişiliğinde ayrı ayrı teşekkürü bir borç bilirim.

Tez çalışmam sırasında da yardım ve deneyimleriyle yol gösteren değerli hocam Doç. Dr. Erol Yalnız'a, tez çalışmamda tavşan gözlerine yaptığız cerrahi girişimleri bizzat üstlenerek yardımını esirgemeyen Prof. Dr. Nazan Erda'ya, İris anjioografi çekimlerinde titiz ve uyumlu çalışmasıyla tezimin sonuçlanmasına büyük katkısı olan Uz. Dr. Ömer Benian'a ve tez çalışmama emeği geçip adını yazmadığım tüm çalışanlara teşekkür ederim.

## **İÇİNDEKİLER**

	<b>Sayfa</b>
<b>GİRİŞ ve TARİHÇE</b>	1
<b>GENEL BİLGİLER</b>	5
<b>MATERYAL VE METOD</b>	23
<b>BULGULAR</b>	26
<b>TARTIŞMA</b>	43
<b>SONUÇ</b>	48
<b>ÖZET</b>	49
<b>KAYNAKLAR</b>	50

## **KEMİK GREFTLERİNİN REVASKÜLARİZASYONU**

### **1.GİRİŞ ve TARİHÇE**

20. yüzyılda tıp alanında en önemli gelişmelerden birisi de organ transplantasyonudur. Kemik kandan sonra insan vücutunda en fazla transplante edilen dokudur (1).

Günümüzde kemik greftleri, infeksiyon, travma, tümör nedeniyle hasara uğrayan yada zayıflayan iskelet sisteminin kemik defektlerinin ortadan kaldırılması amacıyla kullanılmaktadır (2,3,4).

Kemik greftlerinin bu denli yaygın olarak kullanılmasının nedeni kemik defektlerini ortadan kaldırmasının yanısıra, osteojenik aktivitelerinin olmasıdır. Duhamel 1739 yılında ilk kez osteojenik aktiviteyi subperiostal yerleştirilen gümüş tel etrafında oluşan yeni kemik oluşumunu gözleyerek tanımlamıştır. 1763 yılında Von Haller periostun zengin bir vasküler yapısı olduğunu ve yeni kemik oluşumunun arterlerden meydana çıkan eksüdasyon sonucu olduğunu bildirmiştir. 1867 de Ollier periostun osteojenik aktivitesinin olduğunu ve en uygun greftlerin periost içeren greftler olduğunu yayımlamıştır (5).

1907-1911 yılları arasında Axhausen otogreftlerde periostun varlığının yüksek osteojenik aktiviteye neden olduğunu, allogreftlerde osteojenik aktivitenin az olduğunu, ksenogreflerde ise osteojenik aktivitenin olmadığını belirtmiştir. Axhausen'e göre kemik transplantasyonu sonucu kemik ve kemik iliği olur. Ancak osteojenik kapasiteye sahip periostun bir kısmı canlı kalır. Onarım ve yenilenme canlı kalan bu dokununun vaskularitesiyle sağlanır. Histolojik olarak başlangıçta alicının kemik iligidinden ya da çevre dokulardan köken alan fibriler bir yapıya sahip bir konnektif doku

oluşur. Bu doku hem alicinin, hem de greftin periostuna invaze olur. Alicidan grefte damarsal yapılar ulaşır. Rezorpsiyon ve yeni kemik oluşumu başlar. Axhausen bu durumu “schleichender ersatz” olarak tanımlamış ve alman literatürüne geçmiştir. Greftin revaskülerize olarak hem osteoklastik hem de osteoblastik aktiviteyi bir arada gösterdiği bu dönem ingilizce yayınlanan literatürlerde “creeping substitution” olarak geçmektedir (5).

1909 yılında Nakahara ve Dilger, 1911 de Sasaki, 1912 yılında Jakoi, kemik ve periossttan elde ettikleri emülsiyonlarda osteojenik aktiviteyi göstermişlerdir. 1949'da Heinen, 1952'de Ray kemik ve periostan elde ettikleri emülsiyonların osteojenik aktiviteyi artırdığını gözlemelemiştir (5).

Grohe 1899 yılında 0 ila -40 dereceler arasında 100 saat sakladığı periostun intramüsküler transplantasyonunda osteogenezisi göstermiştir. 1899'da Morpurgo 15 derecede insan periostunu 168 saat saklamış ve osteogenezisi göstermiştir. Saltkow 1900 yılında agar jelatin içersinde 2 ila -29 dereceler arasında saklanan fare periostunun 14 gün sonra da canlı olduğunu göstermiştir (5).

Zaman zaman kitlesel, osteokondral greftlere ihtiyaç duyulması ya da greft ihtiyacı olan hastanın yeterli kemik stoğunun bulunmaması gibi nedenler araştırmacıları allogreftleri araştırmaya yönlendirmiştir. Ancak allogreftlerin ihtiyaç olduğu anda bulunamaması nedeniyle kaynatma, dondurma, deproteinize etme, radyasyon gibi yöntemlerle allogreftleri saklayıp sterilize ederek kullanmışlardır.

İlk başarılı taze allogreft uygulaması 1878 yılında Macewen tarafından yapılmış, tibiadan elde edilen greft, humerus defektine başarıyla implante edilmiştir (5).

Bauer 1910 yılında 3 haftadan daha fazla dondurarak sakladığı köpek allogreft sonuçlarının tatminkar olduğunu yayımlamıştır. Tuffier 1910 yılında 5 gün süreyle dondurup saklanmış kemik greftlerini kliniğinde kullanmıştır. Daha sonraları Albee,

Smith ve Inclan kullanmışlardır. Bush ve Wilson 1947 yılında -20 derecede dondurarak saklamanın prensiplerini ortaya koymuşlardır (5).

Tuffier 1901 yılında çok parçalı omuz kırıkları çıkışının nedeniyle humerus başını rezeke etmiş. Bundan etkilenen Judet 1906 yılında tavşanlarda diz eklemi rekonstruksiyonunda total ve parsiyel kitlesel allograftler kullanmıştır. Herndon ve Chase 1952-1954 yıllarında otolog, taze allograft ve saklanmış allograftler kullanarak 129 köpeğe diz transplantasyonu uygulamışlar ve yeterince takip edebildikleri 56 tanesinin sonuçlarını yayımlamıştır. Dondurmanın immunolojik cevabı azalttığını belirtmişlerdir. Daha sonraları Curtiss dondurmanın immunolojik yanıtını azalttığını yayımlamışlardır. Bu yayınlar osteokondral graftlerin modern dünyada kullanımının yaygınlaşmasına yol açmıştır (5).

Tietze 3 parsiyel otolog metatarsofalangeal eklem transplantasyonu yapmıştır. Lexer 1908 yılında 5 total, 4 parsiyel allograft eklem transplantasyonu yaptığı, total transplantasyonların 4 tanesinin dize, 1 tanesinin el bileğine yapıldığını, diz transplantlarından bir tanesinde sonucun kötü olduğunu elbileği transplantasyonu yapılan hastanın 5. haftadan sonra izlenemediğini ancak diğer 3 dizin 2 yıllık izlemlerinde dejeneratif görünümüne karşın fonksiyonel durumlarının iyi olduğunu yayımlamıştır. Bürkle de la Camp, Lexer'in 14 ve 16 yıl önce diz transplantasyonu yaptığı iki hastayı histolojik olarak incelemiş, artiküler yüzeyin fibrokartilajla kaplı olduğunu, meniküslerin ve bağların ortadan kalktığını, kapsül içerisinde aşırı kalsifikasyon olduğunu ancak tüm dokuların canlı olduğunu gözlemiştir (5).

Ülkemizde kemik graftleri ve kemik bankası üzerine ilk derleme 1955 yılında Kazım İsmail Gürkan ve Hayrullah Kocaoğlu (6) tarafından yazılmıştır. 1962 yılında Rıdvan Ege (7) yaptığı deneysel çalışmalarla taze ve -10 derecede dondurulmuş otograft, allograft, ksenogreflerle vertebral füzyon yapmış ve sonuçlarını yayımlamıştır.

Otojen graftin şekil, büyülüklük, miktar bakımından sınırlı olması, grafti almak için fazladan bir insizyona ve zamana ihtiyaç duyulması, graft alınan yerde hematom,

kırılma, heterotopik kalsifikasyon gibi komplikasyonların oluşma riski, opere edilen bireyden osteokondral graft alınamaması, hekimleri allograft kullanmaya yönlendirmiştir (8,9).

Günümüzde tümör cerrahisinde ulaşılan yeni bilgi ve deneyimler sonucu amputasyon ve radikal rezeksiyon endikasyonları azalmış, lokal geniş rezeksiyonlar tercih edilmeye başlamıştır. Bu durum ciddi rekonstüktif girişimlere ihtiyaç doğurmuş, pahalı ve zor bir yöntem olan kemik bankacılığını gündeme getirmiştir. Ancak istenilen boyutlarda kemik sağlama zorluğu, olası immunolojik problemler ve kemik bankacılığı gibi pahalı bir yönteme para ayıramayan sosyo ekonomik durumu düşük ülkelerde rekonstüksiyon sorunu tümörlü bölümün eksize edilip otoklavizasyondan sonra replante edilmesiyle aşılmasına çalışılmıştır ( 10, 11, 12, 13, 14).

Bu çalışmada amacımız, taze otojen, dondurularak saklanan allojenn ve otoklavize edilmiş otojen greftlerin revaskülarizasyonu ve kemik indüsyonunu gözlemlemek ve karşılaştırmaktır. Bu amaçla kemik greftleri albino tavşanların gözlerinin ön kamarasına yerleştirilmiştir. Deneysel çalışmalarda göz deneğe zarar vermekszin rahatlıkla direk klinik izlem yapılabilecek, anjioblastik cevap verme yeteneğine sahip bir organdır (15).

## **2. GENEL BİLGİLER**

### **A. KEMİĞİN YAPISI**

Kemik mineral ve kollajen içeren yapısıyla vücutun iskelet desteğini sağlayan tek tip hücreler ve zengin ara maddeden oluşan özel bir bağ dokusudur (16,17,18). Ağırlığının %65-70'ni inorganik, %30-35'ni organik matriks oluşturur (16,19).

Kemik spongöz ve kortikal yapıdan oluşur. Spongöz kemik kemiğin iç kısmında yer alan birbirleriyle çaprazlaşarak stres çizgileri boyunca dizilen gevşek bir trabeküler ağdan oluşur. Kemiğin dış kısmında bulunan kortikal kemik ise aralarında zemin lamelleri bulunan havers sistemleri tarafından oluşturulmuştur. Zemin lamelleri kısmen rezorbe olmuş havers sistem artıklarıdır. Havers kanalları etrafında konsantrik olarak sıralanmış ardıl lameller vardır (16,17,18,21).

Havers sistemi kaniliküller aracılığıyla birbirleriyle ilişkidedir. Besleyici arterlerin geçtiği ve dal verdiği havers kanalları konsantik lamellöz bir yapıyla çevrilidir. Lakünalarıysa osteosit içerirler. Volkman kanalları periostal, havers ve medüller kan damarlarını birleştirir (16,17,18 ).

Kemiğin dış kısmı, vasküler dokusu yoğun olan periost tarafından sarılır. Kemik medüllası, spongöz kemik boşlukları ve havers kanalları ince hücresel bağ dokusu olan endosteumla içten kaplanır(16,17,18 ).

#### **a. Kemik Hücreleri**

Morfolojik yapılarına, yerleşimlerine, orjinlerine, fonksiyonlarına ve potansiyellerine bakılarak yapılan araştırmalar sonucunda kemiğin

- 1.Osteoblast
- 2.Osteosit
- 3.Osteoklast
- 4.Kemik döşeme hücresi olmak üzere dört grup hücre içerdigi gözlenmiştir (16, 19).

### **1.Osteoblast**

Periostun kambium tabakası ve endosteumda bulunan, lokal hareketli olmayan kemik matriks oluşumundan sorumlu, kemik yapıcı farklılaşmış bağ dokusu hücresidir. Pluripotansiyel mezenkimal hücrelerden geliştiği kabul edilmektedir (16,17,18,19).

Aktif fazda 20-30 mikron boyutlarında, küboid etrafi girintili çıkıntılı, stoplazmadan zengin, birbirlerine sitoplazmik çıkıntılar aracılığıyla tutunan hücrelerdir. Eğer sık olarak yan yana bulunurlarsa, bu uzantıları görülmez. Hücrenin bir tarafında çekirdek, diğer tarafında endoplazmik retikulum ve Golgi cihazı bulunur. Çok fazla sayıda endoplazmik retikulum mevcuttur. İnaktif dönemde uzun yassı iğ şeklinde alır. Aktivasyon döneminde boyut ve şekilleri değişerek hücresel elemanları çoğalar. Osteoblastlar bölünerek çoğalmazlar (16).

Osteoblastlar hem Tip I kollejeni (prokollagen) hemde başlangıçta mineralize olmamış kemiği (osteoid) oluşturan ara maddeyi salgılar ve matriks kalsifikasyonunda rol oynarlar.

Osteoblastlar uzunlamasına büyümenin yanı sıra, enine büyümeyi sağlar. Yeni oluşan tabaka ile daha önce oluşmuş tabaka arasında büyümeye çizgisi denilen birleştirici bir sınır gözlenir (16).

### **2.Osteositler**

Osteositler erişkin kemik hücreleridir. Osteoblastların sentez edip salgıladığı kemiğin organik hücreler arası maddenin çevresinde birikmesi sonucu bu madde içerisinde hapis kalarak farklılaşmasıyla meydana gelirler (18).

Her osteosit hücrenin şeklini kalıp gibi saran bir boşluğa yani lakanaya yerleşmiştir. Osteositler matriks içerisinde düzenli olmayan 1 mikron çapında kıvrımlı bir yapı gösteren kaniliküller içersinden ince sitoplazmik uzantıları aracılığıyla komşu lakanalarda bulunan hücrelerle bağlantılar yapar (17,18).

Kemik matriksin devamlılığını ve matriks birikimini sağlar. Kan kalsiyumunun uygun seviyede kalmasına yardımcı olur (18).

### **3.Osteoklastlar**

Osteoklastlar kemik ve mineralize kıkırdak dokusunu rezorbe eden ve kemiğin yeniden şekillenmesini sağlayan çeşitli büyülüük ve sayıda çekirdek içeren dev hücrelerdir (17,18,19). Kemik rezorpsiyonun olduğu bölgelerde aktif olarak bulunurlar. Aktivasyonları sonucu Howship lakanası yada rezorpsyon körfezi denilen kemik yüzeyindeki çukurlar oluşur. Ameboid hareketlidirler. Mitozla çoğalmazlar (18).

Osteoklastlar ya monosit ve makrofajların direk birleşmesinden ya monosit, makrofajların oluşumunda öncü rol oynayan hücrelerden yada onlardan bağımsız başka bir kök hücreden geliştiği düşünülmektedir (19).

Osteklastların postmitotik mononükleer prekürsör hücrelerin birleşmesinden kaynaklandığı görüşü en çok kabul edilen görüşür (18,19). Bu hücrelerin çok çekirdekli şekilleri tekrar eden DNA replikasyonları ve hücre bölünmesi olmaksızın çekirdek bölünmesiyle yada bir öncü hücrenin füzyonuyla oluşur(18).

Kemikle komşu olan hücrenin bölümleri iki kısma ayrılır.

- 1.Fırçamsı kenar (Ruffler border): Hücrenin diğer kısımlarından daha koyu benekli olup rezorpsyon bölümünde kemige bitişik parlak bant gibi görülür (17,18).
- 2.Berrak bölge (Clear zone): Fırçamsı kenarı kuşak gibi sarar.Sitoplazma çevresinde küçük bir halkaya benzer (17,18).

Osteoklastların görevi kemiğin mineral ve hücreler arası ara maddesini rezorbe etmektir. Kemik rezorbsiyonu firçamsı kenarda ekzositoz ve endositoz mekanizmasıyla olur. Osteoklastlarda litik bir çok enzim mevcuttur.

Paratiroid hormon düzeyindeki artış kemik rezorpsiyonunu artırır ve osteoklastik aktivite üzerinde belirgin bir etkiye sahiptir. Kalsitonin ise osteoklastik aktiviteyi azaltarak kemik yıkımını dengeleyici rol oynar (18).

#### **4. Kemik döşeme hücresi**

Erişkin iskeletinde kemik yüzeyini örten ince, uzun hücrelerdir. Çok az organelleri vardır. İnaktiftirler, rezorpsiyona ve değişime uğramaksızın kemik yüzeyini örterler. Sıklıkla birbirleriyle birleşir ve yarık birleşme yerleriyle osteositlere yakındırlar. Potensiyel osteoblastların kaynağı oldukları, kemik ve diğer ekstrasellüler sıvı kompartmanları arasında bariyer görevi gördükleri kabul edilmektedir (19,22).

#### **b. Periost ve Endosteum**

Periost parlak sarı beyaz renkli fibröz bir bağ dokusudur. Eklemler dışında kemiğin dış yüzeyini örter ve kemiğin çevre yumuşak dokularla ilişkisini sağlar. Periostun çevreye olan bağlılığı özellikle mukozaların doğrudan kemiğe yaslandığı yerlerde kuvvetlidir (17,18).

Periostun kollejen lifleri genellikle kemik yüzeyine paraleldir. Ligamanların ve tendonların kemiğe tutunma yerlerinde periostun karakteri değişir. Sharpey lifleri denen bu yapı, kalın kollejen lîf kümelerinin doğrudan kemiğe tutunmasıyla oluşur ve periostun dairesel dış liflerine kadar uzanır. Bu liflerin görevi epifizle diafizin birleştiği, büyük kan damarlarının kemiğe girdiği, tendon ve kasların kemiğe yaptığı yerlerde periostun kemiğe sıkıca bağlanmasılığını sağlamaktır (17,18).

Periost birbirleriyle sıkı ilişkide olan fakat, yapı bakımından farklı olan iki tabakadan oluşmuştur.

1.Dış tabaka (Stratum fibrozum) hücre ve damardan fakir olup, ince kollejen fibrillerinin oluşturduğu örgüden oluşur. Ekleme yakın bölgede perikondrium içersinde dağılır. Dış tabakada büyük damarlar vardır ve asıl mekanik tabakayı oluşturur.

2.İç tabaka (Kambium tabakası) hücre ve damardan zengin olup, ince kollejen fibril demetlerinden oluşmuştur. Hücreden zengin iç tabaka osteblastlar ve uyarıldığından osteoblastlara dönüşen fibroblastlardan ayırd adilemeyen hücreler içerir (18).

Endosteum sıkılıkla bir hücre kalınlığında hücresel bağ dokusudur. Medülla boşluğunu, spongöz kemik trabeküllerini ve havers kanallarını döşer. Endosteum kemik oluşumunu sağlayan ve rezorbe eden hücrelerle, uygun uyarılar altında bu hücrelere dönüşebilme yeteneğine sahip hücreler içerir. Endosteum osteojenik olmasının yanısıra hemapoetik özelliğide vardır. Bu özellikleriyle kemiğin büyümeye ve rejenerasyonunda görev alır (17,18).

### c. Kemik matriksinin içeriği

#### 1. Kemik matriksin organik içeriği

Organik matriksin en bol proteinini Tip 1 kollejendir. Osteoblastlar tarafından sentezlenir. Az miktarda tip 2, 3, 5, 10 kollagen bulunmakta ancak bunların daha çok damarsal ve kıkıldak kökenli olduğu düşünülmektedir. Kemik matriksinin %90 kollajen %10 ise diğer proteinler tarafından oluşturulur (16, 20, 23, 24).

Osteonektin, kemiğin en bol non kollejenöz proteinidir. Osteoblastlar ve fibroblastlar tarafından sentezlenir.

Ostekalsin (Kemik Gla protein) hem kemikte hemde plazmada bulunan kollejen olmayan proteindir. Plazma seviyesi kemik sentezinin artmasıyla yükselir. Plazma seviyesi osteoblastik aktivitenin göstergesidir. Ostekalsin sentezi K vitamin antagonistleri varlığında azalır (19).

Matriks Gla protein erken dönemde iskelet gelişiminde önemli rol oynar (19).

Proteoglikan 1 ve 2 hem protein içeriği hemde kendilerine bağlanan kondrotin sulfat yan zincirinin bağlanma farklılıklarını nedeniyle ayrı iki proteoglikandır. Kemik mineralizasyon bölgelerinde yoğunlaşarak kemiğin direncini artırırlar (19).

Siyalik asitten zengin iki protein siyaloprotein 1 ve 2 olarak isimlendirilir. Siyaloprotein 1 sadece kemikte bulunur ve hidroksiapatitle sıkı bir şekilde bağlanır. Kemikte mineralle hücreler arasında köprü olarak görev yaptığı düşünülmüş ve osteopontin olarak da isimlendirilmiştir.

Kemik morfojenik protein yeni kemik oluşumunu indükleyen iki fraksiyondan oluşmuş 38-kDa olan bir glikoproteindir. İlk kez Urist (24, 25, 26, 27) tarafından izole edilmiştir. Kemik dokusu yıkıldığından ortaya çıkmakta mezenkimal hücreleri etkiliyerek osteoprogenitor hücreler olarak çoğalması için uyarıda bulunmaktadır. Kollegenaz enzimine duyarlıdır.

Ayrıca kemik matriksinde kemik, kıkırdak, trombosit, fibroblast büyümeye faktör kökenli altı adet büyümeye faktörü izole edilmiştir.

## 2. Kemik matriksin inorganik içeriği

Kemiğin kuru ağırlığının %65-70 inorganik mineraller, bunların da %96'sını katı kalsiyum ve fosfat oluşturur (23).

Kemiğin inorganik bileşenleri amorf kalsiyum fosfat, hidroksiapatit kristalleridir (23). Kimyasal incelmelerde kalsiyum, fosfat, magnezyum, hidroksil, karbonat ana iyonları saptanmıştır (29). Ayrıca kemikte eser miktarda magnezyum, potasyum, sodyum, çinko, manganez, molibden, flor bulunmaktadır. Kemik amorf kalsiyumfosfatın olası formülü  $\text{Ca HPO}_4 \cdot 2\text{H}_2\text{O}$  veya  $\text{Ca}_3(\text{PO}_4)_2 \cdot 3(\text{H}_2\text{O})$  şeklindedir (23).

### **3. Su**

Hem intersitisyal, hem de hidroksiapatit kristalleri içerisinde bulunduğu gibi ekstrasellüler olarak kemik içindeki boşluklarda, havers sistemi içerisinde besleyici kanallarda kollegen lifleri arasında ultramikroskopik kanallarda bulunurlar (16). Yaş ile birlikte kemikte su miktarı azalır.

**Su kalsiyum, sodyum, fosfat gibi bir çok iyonun hareketliliğini, hidrasyonunu ve diffüzyonunu sağlar. Matriks kalsifikasyonunda kalsiyum iyonlarının değişimi veya diffüzyon hızını yavaşlatarak rol oynar (16).**

## **B. KEMİĞİN KANLANMASI**

Kan dolasımı kemik canlılığının devamı için gereklidir. Böylelikle osteogenezis yani kırk tamiri ve büyümeye gerçekleşir. İnsanlarda iskelet sistemi kan akımının, kalp atım volümünün %5'i olduğu saptanmıştır (28,29,30,31). Kan akımının düzenlenmesinde nöral, hormonal, lokal ve sistemik faktörler etkili olmaktadır (31,32,33).

Kemiğin çeşitli bölgelerinde olan kan akımı oranlarında farklılıklar bulunur. Kemik kanlanması bölgeleri çoktan aza doğru inferior metafiz, kemik iliği, süperior metafiz, inferior epifiz ve korteks olarak sıralanır (29, 32).

Tübüler kemiklerde arterial kan akımı

1. Nutrisyen arterler
2. Metafizer arterler
3. Periostal arterler yoluyla olur (18, 32). Kemik dolasımının %70'i nutrisyen, %30'u epifizo-metafizer ve en düşük oranda periostal arterler aracılığıyla sağlanır (29, 35).

Metafizer arterler metafizin kanlanması sağlanır ve medüller arterler anastomoz yaparlar. Korteks kanlanması büyük bir kısmını endosteal sistem gerçekleştirir (18, 32, 34).

Periostal arterler, normal kemik korteks kanlanması küçük bir bölümünü sağlarlar. Korteksin dış yüzünde yeni Havers sisteminin gelişmesi için gereklidir (18, 32). Kaymış kırıkların iyileşme döneminin başlangıcında çevre yumuşak doku damarlarıyla desteklenen periostal damarlar, kan akımının büyük bir kısmını sağlar ve kırık bölgesinde yeni kapiller tomurcuklarının oluşmasına yardım eder (32, 36, 37, 38).

**Diafiz korteksi** kan akım yönü endosteal sistemden periostal sisteme doğrudur. Bu akım yönü kırık sonrası tersine döner (32, 36, 37).

Kemiği besleyen damarlar arasında anastomozlar vardır. Bunlar metafizer arterler arasında, periostal arterial sistemle medüller sistem arasında anastomozlardır. Bu anastomozlar kırık sonrasında vasküler yapının yeniden düzenlenmesinde önemli rol oynarlar (18, 32).

Kemiğin drenajı nutrisyon foraminalara, diafiz kemik dokusuna ve periostun dışına doğru giden damarlarla gerçekleşir. Bunlarda nutrisyon arterlerin venleri, kortikal venöz kanallar, periostal kapillerlerdir (18, 32).

### C. KALSİFIKASYON

Kemiğin mineralizasyonu hücre içi ve hücre dışı olmak üzere iki bölümde gerçekleşir. Birinci bölümde, osteblastlar hakimdir. Kemik matriksin asıl komponenti oluşturulur. Osteoblastlar tarafından Tip 1 kollajen (prokollajen) sentez edilerek ekstrasellüler kalsifikasyon bölgelerinde birikir (16, 20, 23).

Kollejen fibriller üst üste gelerek katlanırlar ve bir sarmal oluştururlar. Bu fibriler lameller matriks içerisinde kendilerine yakın mineral lamellerine paralel olacak

şekilde organize olurlar. Aralarında belli aralıklarla inorganik maddelerin yerleşmesi için boşluklar oluşturlar. Bu boşluklara hole zone adı verilir (16, 20, 23,).

Proteoglikanlar birlikte bulundukları kollejen liflerine etki ederek formasyon hızını, mineral bölgesinin konsantrasyonunu, mineralizasyonun düzenlenmesini etkilerler (19).

İkinci bölümde ise, kalsifikasyon bölgelerine kalsiyum ve fosfatın depolanmasıyla çekirdek oluşur. Çekirdek bölgeden başlayarak minerallerin üstüste eklenmesiyle kalsifikasyon tamamlanır (20).

#### D. KEMİK GREFTLERİNİN BİOLOJİSİ

Urist ve Silverman (24) kemik greftlerinin alicı kemikle birleşmesini yani inkorporasyonu, donör ve alicının yeni kemik dokusuyla kaplanıp birleşmesi olarak tanımlamış ve bunun oluşumunu beş bölüme ayırmıştır.

1. bölüm, dakika ve saatler içerisinde gerçekleşir greft yatağında enflamasyon ve osteoprogenitör hücrelerin proliferasyonu olur. 2. ve 3. Bölüm, 1-7.günler arasında gerçekleşir. Bu dönemde kemik greftindeki matriksten köken alan Bone Morphogenic Protein (BMP) kemik yatağında osteoindüktif bir cevaba neden olur. 4.bölüm, osteokondüktif dönem olarak adlandırılır. Bu dönemde greftin revaskülarizasyonu gerçekleşir ve ‘creeping substitution’ denilen yeni kemik oluşumu ve nekrotik oluşumların birlikte gözlendiği aylar boyunca süren aktif dinamik iyileşme sürecini içerir (40). 5. bölüm ise, 2-20 yıl boyunca süren kemigin mekanik direnç kazandığı zaman dilimidir. İnkorporasyon için tanımlanan bu süreç alicının kemik yaşına, kemigin metabolik aktivitesine göre değişmektedir (41).

Osteoindüksiyon mezankimal hücrelerin kemik matriksiyle karşılaştıktan sonra farklılaştiği dönemi içerir. BMP kontrolü altındadır (42).

Reddi (43) osteoindüksiyonun en önemli fazının kemotaksis, mitozis ve diferansiasyon olduğunu belirtmiştir. Implante edilen greft çevre dokulardan lökosit migrasyonuna neden olur. Greft üzerine kemotaktik ve mitojenik olan, kollejen ve fibrine afinitesi olan 450 kilodalton büyüklüğünde plazma fibronektini bağlanır. Kemotaksisi takiben gref üzerinde mezankimal hücreler prolifere olmaya başlar. Bu durumu Rath ve Reddi (44) kemik matriksin lokal mitojen olduğunu göstererek açıklamıştır. Bu mitojenik aktivite DNA sentezini varlığının belirlenmesiyle ortaya konulabilir. Mitojenik fazı takiben kıkırdak dokusu oluşumu, vasküler invazyon ve kemik dokusu gelişimi, kemik remodelizasyonu kemik iliği oluşumu gözlenir. (Tablo 1) (43).

Osteokonduksiyon alıcıdan, transplante edilen materyale doğru ilerleyen damarlar aracılığıyla osteoprogenitor hücrelerin nakil edilmesidir. Bu materyel cam, seramik, plastik gibi biolojik olmayan maddeler olabilir. Otoklavize, deproteinize, dondurulmuş, dondurulmuş kurutulmuş kemik gibi canlılık özelliğini kaybetmiş materyal olabileceği gibi, taze vasküler veya vaskülerize olmayan greftler de olabilir. Kısacası osteokonduksiyon alıcıdan transplante edilen materyale uzanan pasif bir yeni kemik oluşumudur (9). Osteokonduksiyon canlı kemik greftlerinde osteoindüktif etki nedeniyle, yaşamayan ya da biolojik olmayan greflere göre daha kolay gerçekleşir (45).

## E. BİOKİMYASAL DEĞİŞİKLİKLER

Hücresel değişiklikler biokimyasal değişikliklerle birlikte gerçekleşirler. İlk 3 günlük mezenkimal hücre artımı hücre içi DNA'ya (<sup>3</sup>H)-timidin girişi ve greft üzerinde ornitin dekarboksilaz aktivitesinin artışıyla, Kıkırdak induksiyonu kıkırdağa özgün proteoglikan ve Tip 2 kollagen içersine <sup>35</sup>SO<sub>4</sub> girişiyle, yeni kemik oluşumu <sup>45</sup>Ca alımı ve alkalen fosfataz aktivite artışıyla, kemik remodelasyonun göstergesiye aril sülphataz ve asit fosfataz enzimlerinin artışıdır. Kemik iliği oluşumundaysa demirin hem içersine girişi ölçü birimi olarak kullanılmıştır (46).

İndirek immunofloran yöntemiyle farklı zamanlarda yapılan incelemelerde mezenkimal hücre proliferasyonu sırasında Tip 3, kıkırdak oluşumu sırasında Tip 2, vasküler invazyon sırasında Tip 4, kemik oluşumu sırasında Tip 1 kollejen sentezlendiği saptanmıştır (46).

**Tablo 1:** Kemik induksiyon basamakları

1.dakika	Pihti oluşumu ve trombosit açığa çıkması	Fibrin ağı oluşması ve trombosit büyümeye faktörlerin serbestleşmesi
1.saat	PMN(Polimorf nüveli lökositlerin) kemotaksi	Kollejenaz, elastaz gibi proteolitik enzimlerin serbestleşmesi.
3-18. Saatler	PMN sayısal artışı ve birleşmesi	Sıvılık proteoliz ve fibroblastlar için kemotaktik faktör salgılanması.
1.gün	Fibroblast kemotaksi	Fibronektin peptidlerinin salınımı ve hücresel hareketlerin artışı.
2.gün	Fibroblast kemotaksi devam eder	Nükleik asit ve protein sentezi başlar ve büyümeye faktörleri salgılanır.
3. gün	Hücre proliferasyonu	DNA içersine <sup>3</sup> H-timidin yerleşmesi ve ornitin dekarboksilaz aktivitesinin artışı.
5. gün	Kondroblast oluşumu[D1]	Proteoglikanlar içersine SO <sub>4</sub> alımı artar. Tip 3 kollagen sentezi olur.
7. gün	Kondrosit ortaya çıkar, matriks sentezi ve sekresyonu olur.	Tip 2 kollagen ve kıkırdağa özgü proteoglikan sentezi.
9.gün	Kondrositlerin hipertrofisi  Kıkırdak matriksinin kalsifikasiyonu Vasküler invazyon	Alkalen fosfataz aktivite artışı ve Ca absorbsiyonu  Tip 4 kollagen sentezi  laminin sentezi
10-12. Gün	Osteoblast oluşumu, Kemik oluşumu ve mineralizasyonu	Tip 1 kollagen sentezi Kemik proteoglikanlarının sentezi. Alkalen fosfataz ve Ca absorbsiyonunun en üst seviyeye ulaşması.
12-18. Gün	Osteoklastik aktivite ve kemik remodelasyonu	Asit fosfataz, aryl sulfataz, glukuronidaz gibi lizozomal enzimlerde artış. Osteokalsin içeriği olan karboksiglutamik asit artışı. Kollejenaz ve protezlerin serbestleşmesi.
21. gün	Kemik iliği oluşumu	Tip 3 kollejen sentezi. Hem içersine Fe girmesi ve lizozomal enzimlerin depolanması.

## **F. OTOJEN KEMİK GREFLERİN ONARIMDA BİRİNCİ DÖNEM**

Kortikal ya da spongioz grefler onarım fazının ilk dönemlerinde benzer özellik gösterirler. Birincil olarak hem kortikal hem de spongioz kemik grefi üzerinde kanlanma eksikliğini giderebilmek için bir kan pihtısı oluşur. 1. hafta içerisinde transplant etrafi diffüzyonla beslenebilmesi için sıvıyla çevrili, alıcıdan damarlar uzanan inflamatuar bir merkez görünübündedir. Damarlar ilk iki gün içerisinde grefin çevresini sarar daha sonra gref içersine girer. Bu sürec iki haftada tamamlanır (47, 48).

Dünger bir revaskülarizasyon şekli ise saatler içerisinde gerçekleşen uç uça anastomozdur ve spongioz greflerde gözlenir (47). Plazma hücreleri, osteoklastlar, polimorf nüveli lökositler transplanti sararlar. İkinci haftadan itibaren enflamasyon azalır, fibröz ganülasyon dokusu oluşur ve osteoklastik aktivite artar (41). Osteoklastlar transplantasyonun 4. gününde sonra ortaya çıkarlar ancak 10. günde çok belirgin şekilde artmış olarak gözlenirler. Bu hücreler otolize uğrayan osteositleri ortadan kaldırarak yeni hücrelerin yerleşebileceği boş havuzlar oluştururlar. Alıcıdan grefte uzanan damarlar haversiyen kanallar aracılığıyla kemik iligine ulaşır ve kemik iligi makrofajlar tarafından ortadan kaldırılır (50). Kapiller invazyonla canlı kalabilmiş olan endotelyal hücreler kemik iligi boşluğununda mezenkimal hücrelerle çoğalmaya başlar. Bu arada greft üzerinde diffüzyonla beslenerek canlı kalmış bazı osteositler invaze olmuş bu kapillerlerle beslenmeye başlar (48). Bu dönem yaklaşık olarak iki hafta kadar sürer (48).

## **G. OTOJEN KEMİK GREFLERİNİN ONARIMINDA İKİNCİ DÖNEM**

Kortikal kemik grefleri revaskülarizasyon zamanı uzunluğu, revaskülarizasyon oran azlığı, onarımın tam olmaması gibi nedenlerden dolayı onarımın ikinci döneminde spongioz kemik greflerinden farklıdır. Spongioz greft içerisindeki kemik iligi transplantasyondan sonra ölürl. Yeni damarların kemik içine invazyonu için trabeküllerin sınırladığı geniş kanallar oluşur (47, 48, 51). Hatta trabekül sayısının

onarım yüzdesini belirlediği söylemiştir (48). Bazı yazarların otojen kemik greftlерinin revaskülarizasyonunun uç uça anastomozlar oluşturarak ortayalığını söylemesine karşın revaskülarizasyon primer olarak aliciden gelişen damarların kemik iliği boşluğunla ilerleyerek yerleşmesiyle oluşur (47, 48, 52, 53). Spongioz greft sıklıkla iki gün içerisinde damarlarla çevrilir ve iki hafta içerisinde revaskülarizasyon tamamlanır (48).

Vasküler invazyonla birlikte mezankimal hücreler osteojenik hücrelere dönüşür (54). Bu osteojenik hücreler öncelikle osteoblasta farklılaşarak ölü trabeküller ortasına yerleşir (55). Radyolojik olarak bu dönemde radyodansitenin artığı gözlenir. Ölü kemik dokusunun ortadan kaldırma üzere osteoklastik aktivitenin başlamasıyla birlikte radyodensite yavaş yavaş azalır. Aynı anda greft üzerinde hemopoietik kemik iliği elemanları çoğalmaya başlar (55). Zaman içerisinde ölü kemik canlı kemikle tamamen yer değiştirir.

Kortikal kemik greftlерinin iyileşmesinin spongioz kemik greftlерinden farklı olmasının nedeni histolojik olarak farklı olmasıdır. Kortikal kemik sıklıkla 6. günden önce damarlar tarafından penetre edilemez (56). Tamamen revaskülarizasyon ise 2 aydan önce tamamlanmaz (48). Kortikal kemik greftlерinde vasküler penetrasyon öncelikle periferal osteoklastik aktivite sonucu volkman kanallarına oradanda haversiyen kanallara ulaşarak gerçekleşir (47, 48). Revaskülarizasyon gecikmesinin, uç uça anastomozların oluşmasına yardımcı olan endosteal hücrelerin azlığına bağlı olabileceği belirtilmiştir (49). Çünkü spongioz kemik greftlерinde diffüzyonla beslenerek canlı kalabilen hücreler uç uça anatomoz şansını artırmaktadır (48). Kortikal greftlерdeyse revaskülarizasyonun başlangıçta periferal olması inferior korteksin revaskülarizasyonun zayıf olması “creeping substitution” sürecini uzatmaktadır (41).

Kortikal kemik greftlерinde osteoklastik aktivite 0 ile 6. haftalar arasında yükselir, 1. yıldan sonra ise yavaş yavaş normal seviyesine iner (41). Rezorbsyonun ilk iki haftasında nekrotik haversiyen kanallar ve interstisyal lameller ortadan kaldırılır. Daha sonraki 4 haftalık dönemde internal kortikal bölgede belirgin bir nekrotik lameller

çıkarmaksızın haversiyen kavite genişletilir ve osteoblastları yerleştiği boşluklar oluşturulur (40).

Kortikal kemik greftlerinde onarım fazı ilk 12 haftası osteoklastik aktiviteyle geçer (57). “Creeping substitution” greftin uzun aksına paralel ve dik olarak devam eder. Bu iyileşme en belirgin olarak alici ve greftin birleşim yerinde gözlenir ve greftin ortasına doğru ilerler (58).

Köpek fibulası kullanılarak yapılan bir çalışmada nekrotik ve yeni kemik doku oranının 2 hafta ile 6 ay arasında sürekli artığını, 6 ay ile 2 yıl arasında bu oranın pek fazla değişmediğini, ancak spongioz kemiğin tamamen canlı olduğu gözlenmiştir (41).

Kortikal greft çalışmalarında konsolidasyonun alicının ve greftin kontak uçları arasında başlamasını fizyolojik yüklenmelerin kemik oluşumu üzerine olumlu etkisine bağlamışlar ve metabolik hızı yüksek olan iskelet sisteminde greft onarımının daha hızlı olduğunu gözlemiştir. Daha sonra yapılan çalışmalarda kemik oluşumu için yeterli oksijen ve kompresyon gerekliliğini işaret etmiş; düşük oksijende kıkırdak oluşumu, artmış oksijenasyonda fibröz doku oluşumu gözlenmiştir (59).

## H. KEMİK GREFTLERİNİN MEKANİK DİRENCİ

Kemik greftlerinin direncini onarım fazı belirler. Spongioz greftlerde onarım yeni kemik oluşumu direk nekrotik kemik üzerine olur. Daha sonra nekrotik kemik rezorbe edilir. Yeni kemik oluşumuyla nekrotik kemiğin birarada oluşu spongioz kemikte direncini etkilemez (41).

Kortikal kemik greftlerinde onarım fazı spongioz greftlerin tersine osteoklastik aktiviteyle başlar. Bu da kemikte kitle ve radyodensite azalmasıyla karakterizedir. Sonuç olarak kemik greftinin mekanik direncinde azalma gözlenir (40). Kortikal kemik ile yapılan araştırmalarda ilk 6 haftayla 6 ay arasında porozitenin artığı kortikal kemik

greftinin direncinin normal kemiğe göre %40 azaldığı daha sonraki 1-2 yıl içersinde greftin normal kemik direncine ulaştığı gözlenmiştir (41).

Deneysel çalışmaların verileri klinik uygulamalarda tetrasiklinle işaretleyerek mikroradyografik yöntemlerle ya da histolojik gözlemlerle korelasyonu araştırılmış ve onarımın benzer ancak daha uzun bir süreçte gerçekleştiği gözlenmiştir (57). Mekanik direnç ilk 6 ayda maksimum olarak azalmakta ancak normal kemik direncine 2 yıldan önce ulaşamamaktadır. Yorgunluk kırıkları 6 ile 18 ay arasında sıklaşmaktadır (40).

Ancak onarım fazı fizyolojik onarım kapasitesine, yaşa greftin tipine, boyutuna, lokalizasyonuna göre farklılıklar gösterir (40).

## I. ONARIMA GRAFT ve ALICININ KATKILARI

İnkorporasyon, alıcı hücreleri ve greft üzerinde canlı kalan hücreler aracılığıyla gerçekleşir (47, 54). Onarında görev alan hücrelerin ne kadarının greftte ne kadarının alıcıya ait olduğu kesin olarak bilinmemektedir (40). Ancak greftte ait osteojenik hücreler 4 bölge aracılığıyla transplante edildiği düşünülmektedir.

a.*Periost*: Bir çok çalışmada özellikle periostun kambium tabakasında osteogenezis yeteneğine sahip hücrelerin bulunduğu ve transplantasyon sonrası canlı kalanlar olduğu gösterilmiştir (47, 55). Periotsuz transplante edilen greftlerde alıcı ve greftin inkorporasyonunda gecikme, kallus formasyonunda azalma, “creeping substitution” yani internal onarında gecikme gözlenmiştir. Eksperimental çalışmalarda periostun yeni kemik oluşumunun %30’u sağladığı gösterilmiştir (55).

b.*Intrakortikal zon*: Bazı osteositler transplantasyondan sonra kanaliküller aracılığıyla diffüzyonla beslenerek canlı kalabilmektedirler (48). Yapılan in vitro çalışmalarda bazı osteositlerin greft üzerinde 24 saatten daha fazla canlı kaldığı gözlenmiştir (60). Osteositler çoğalma yeteneğine sahip olmayan hücreler olmasına karşın onunla birlikte transplante edilen osteojenik kapasitesi olan hücrelerin canlı kalma olasılığı ortaya çıkar (61). Bu hücreler preosteoklast ya da preosteoblast olabilirler (62). Ayrıca endotelial hücreler, intrakortikal mezenkimal yeni kemik oluşumunda rol oynayabilir (61).

**c. Endosteum ve kemik iliği:** Endotelyal hücreler ve kemik iliği transplantasyondan sonra yeni kemik oluşturma yeteneğine sahiptirler (54, 55). Ancak endosteal hücreler kemik iliğine oranla yeni kemik oluşturmada daha önemli rol oynarlar (49). Burwell'e (63, 64) göre nekrotik kemikten bir madde açığa çıkar. Bu mezenkimal hücrelerin osteoblastlara dönüşmesini induklar. Kemik matriksinde iki tip induklenebilen osteojenik prekürsör hücre olduğunu ileri sürülmüştür. **A)**Determinan osteojenik prekürsör hücreler (DOPC) bu hücreler kendi kendine çoğalma yeteneğine sahiptir ve sadece kemik iliği ve kemik yüzeyinde bulunurlar. **B)**İnduklenebilen osteojenik prekürsör hücreler bağ doku ve dolaşımında bulunurlar (65,66).

**d. Alicinin inkorporasyona katkıları:** Alıcı transplante edilen grefti inert olarak kabul eder. Tüm hücresel faaliyetleri greftte canlı kalan hücrelerle benzerlik gösterir. Alicının yaşı, greftin yerleşim yeri önemlidir (40).

#### J. ALLOGREFTLER ve ALICILARIN ALLOGREFTLERE YANITI

Otojen greftlerin yeterli olmadığı durumlarda, masif osteokondral greft ihtiyacında, ek bir cerrahi insizyonun istenmediği durumlarda, greft yerinde zayıflamaya neden olmamak ve greft alınan bölgede kanama, enfeksiyon gibi risklerle karşılaşmamak için allogreftler önerilmiştir (9).

Ancak klinik ve deneyel çalışmalarında otogreftlerin allogreftlerden üstün olduğu gözlenmiştir. Otogreftler kendi başlarına onarımlarını sağlayabildikleri halde allogreftlerde alıcı ve greftin farklı genetik yapıda olmaları nedeniyle bu mümkün değildir. Allogreftlerdeki bu doku uyumsuzluğu, otojen greftlere oranla daha uzun bir onarım sürecini gerektirmektedir (67) .

Alicinin kıkırdak ve kemiğe cevabı diğer organ transplantasyonlarında olan reaksiyonlardan farklı değildir. Ancak bu reaksiyonların ortaya koyduğu tabloimplante edilen organın fonksiyonuna, doğal yapısına bağlı olarak değişiklikler gösterir. Alıcı genellikle antijen dozuna bağlı olarak sensitizedır. İskelet sisteminin antijenik

yapısında birincil olarak hücresel immunite rol oynar. Matriks antijenleriye olayı biraz daha abartılı olmasına yol açan humoral immuniteyi harakete geçirirler (10, 11).

Allograft inkorporasyonunda histolojik olarak üç sonuç gözlenebilir (68, 69).

1. Otojen graft gibi alıcı tarafından kabul edilebilir.
2. Bazı genetik farklılıklar nedeniyle eksik inkorporasyon gözlenir. Bu çok az genetik farklılık nedeniyle kaynamama, graftin parsiyel rezorpsiyonuna bağlı olarak yorgunluk kırıkları, internal onarımın az olmasını, allograft yapının zayıf olduğunu gösteren köprü kallusların oluşması gözlenir.
3. Büyük genetik farklılık nedeniyle graftin rejeksiyonu. Bu farklılık nedeniyle graft “creeping substitutional” onarım göstermeksızın periferden başlayarak hızla rezorbe olur.

Başlangıçta alıcının taze allograftlere yanıtı genetik farklılıklara bağlı özellik göstermez. Otograftlerde olduğu gibidir. 1. haftanın sonunda graft çevresinde enflamatuar bir cevap gözlenir (70, 71, 72). Bu reaksiyon ikinci haftanın sonunda maksimum noktasına ulaşır. 2 ay içerisinde inflamasyonda lenfosit hakimiyeti oluşur ve allograft çevresini fibröz bir doku çevreler (70). Bu inflamasyon graft ve alıcı arasındaki genetik farka bağlı olarak 8 aydan daha fazla sürebilir (70, 72).

Başlangıçta allograft etrafındaki vasküler yapılar otojen graftlere oranla çok azdır. Vasküler yapılar birinci haftanın sonunda genetik farklılıklar nedeniyle inflamatuar hücreler tarafından tikanırlar. Hiyalinizasyon gözlenir (53). Vasküler yapıların ortadan kalkmasıyla yeni oluşmuş ve transplante edilmiş canlı hücreler ölü (53, 72).

İnkorporasyon, transplantın alıcı tarafından kabulünün göstergesidir. Yeterli inkorporasyonda graft alıcı birleşim yerinde kallus ve graftte internal onarım gözlenir. Otograftlerde ve allograftlerde 1. haftada periferal olarak yeni kemik oluşumu gözlenir ancak vasküler yetmezlik nedeniyle allograftlerde yeni kemik oluşumu ilerlemez ve nekroza dönüşür. Allograftlerde sekonder osteogenez alıcı aracılığıyla 4. haftadan sonra başlamaktadır (72, 73)

**Allogrefstlerin otogrefstlerden fizyolojik farklarına ek olarak değişik sterilizasyon yöntemleri ve saklama teknikleride birtakım olumsuz faktörler ortaya çıkarmakta ve inkorporasyonu etkilemektedir.**



### **3. MATERİYAL ve METOD**

Araştırma T.Ü.T.F araştırma laboratuvarında 1 yaşında, sağlıklı, ortalama ağırlığı 2,5 kg olan 15 adet albino tavşan üzerinde gerçekleştirildi.

Denekler ameliyat öncesi iki hafta süreyle gözlem altında tutuldular. Beşer elemanlı üç gruba ayrıldılar. Operasyon öncesi tüm denekler 6 saat süre ile aç bırakıldı. Tüm deneklerin göz ameliyatları Göz Hastalıkları Anabilim Dalından bir öğretim üyesi tarafından yapıldı. Tavşanların anestezisine Ketamin hidroklorid (Ketalar, Parke-Davis) 10 mg/kg İ.M'ile başlandı ve Xylazin Hidroklorid (Rompun, Bayer) 10 mg/kg İ.M yapılarak idame sağlandı. Tüm operasyonlar ortalama 20 dakikada sonlandı.

**1.Grup:** Deneklerin tibiasına saha temizliğini takiben anteromedial insizyonla ulaşıldı. Periost sıyrıldı, metafizer bölgeden 2x2x1 mm boyutlarında spongioz greft alındı. Cilt kapatıldı. Graftlerin serum fizyolojikle yıkanmasını takiben, korneaya saat 12 hizasından mikroskop altında kornea korneal insizyonla girildi, önkamara viskoelastik madde Metil selüloz %2 (Adatocel, Adatomed GmbH ) ile oluşturuldu. Graft insizyon yerinden 3-4 mm temporale, büyük iris arter halkası üzerine gelecek şekilde yerleştirildi. Ön kamaradaki viskoelastik madde aspire edildi. Kornea 10/0 prolénle tek kelebek sütür atılarak kapatıldı.

**2.grup:** Çalışma dışı bir tavşandan alınan tibia steril koşullarda yumuşak dokularından ayrıldıktan sonra -70 °C'de 3 hafta süreyle saklandı. Operasyondan 1 saat önce oda koşularında serum fizyolojik içersinde çözürüldü. Tibia metafizindeki spongioz kemiklerden 2x2x1 mm boyutlarında graftler hazırlandı. Graftlerin serum fizyolojikle yıkanmasını takiben korneaya saat 12 hizasından mikroskop altında kornea korneal insizyonla girildi, önkamara viskoelastik madde Metil Selüloz %2 (Adatocel, Adatomed GmbH ) ile oluşturuldu. Graft insizyon yerinden 3-4 mm temporale, büyük

iris arter halkası üzerine gelecek şekilde yerleştirildi. Ön kamaradaki viskoelastik madde aspire edildi. Kornea 10/0 prolénle tek kelebek sütür atılarak kapatıldı.

**3.grup:** Çalışma grubunda ki tüm tavşanların tibia metafizinden steril koşullarda 2x2x1 mm boyutlarında spongioz greft alındı ve cilt kapatıldı. Alınan greftler aynı vericiye implante edilmek üzere numaralandırıldılar. Greftlar 120 °C'de 20 dakika süreyle otoklavize edildiler. Greftların serum fizyolojikle ykanmasını takiben korneaya saat 12 hızından mikroskop altında kornea korneal insizyonla girildi, önkamara viskoelastik madde Metil Selüloz (Adatocel, Adatomed GmbH) ile oluşturuldu. Greft, insizyon yerinden 3-4 mm temporale, büyük iris arter halkası üzerine gelecek şekilde yerleştirildi. Ön kamaradaki viskoelastik madde aspire edildi. Kornea 10/0 prolénle tek kelebek sütür atılarak kapatıldı.

Tüm deneklerde postoperatif ilk 3 günlük süre boyunca opere edilen gözlerine topikal olarak Tobramisin sülfat gtt (Tobrex, Alcon) ve Deksametazon gtt (Maxidex, Alcon) 3x1 gtt/gün kullanıldı. Sistemik antibioterapi uygulanmadı. Otojen greft implante edilen deneklere 3 er gün dondurulmuş ve otoklavize edilmiş greft implante edilmiş deneklere 7 şer gün aralıklarla kulak venleri aracılığıyla 1cc'lik Fluoresceine %20 Faure (Labrotieres H.Faure) opak madde verilerek iris fluoresein anjiografisi (İ.F.A) (Canon CF 60 UV Fundus Camera) çekilerek fotoğraflandı ve biomikroskopik muayene yapıldı. Araştırma sonunda tüm denekler sakrifiye edilerek enükleasyon yapıldı ve histolojik incelemeye alınmak üzere aşağıdaki şekilde hazırlandı.

1. % 10'luk formalinde 1 gün bekletildi.
2. % 10'luk formalin (1/2 kısım) + %96'lık etil alkol (1/2 kısım) karışımında 1 gün bekletildi.
3. % 10'luk formik asit karışımında iki saat bekletilerek dekalsifiye edildi.
4. Ön kamarada kemik doku kalacak şekilde göz medial ve lateralinden kesilerek 0,5 cm kalınlığa indirildi.
5. Ototeknikoma konuldu (E-2500 Tri-matic Lipshaw-Shandon).
6. Ototeknikomdan çıkarılarak parafine gömüldü ve buz dolabına kaldırıldı.

7. Parafin bloklardan 4'er mikron kalınlığında alınan doku kesitleri dökülmeyi engellemek için yumurta akı ve gliserol sürülmüş lameller üzerine alındı.
8. Doku kesitleri deparafinize edilmek üzere 60 santigrad dereceye ayarlı etüvde 30 dakika bekletildi.
9. Deparafinizasyon işlemine 15 dakika ksilende bekletilerek devam edildi.
10. 2 kez asetonla yıkandı.
11. Sırasıyla % 90, 80, 70' lik etil alkol solusyonlarına 5'er kez daldırılarak dehidrate edildi.
12. Çeşme suyunda yıkanmayı takiben hemotoksilende 5 dakika bekletildi.  
Tekrar çesme suyunda yıkandı.
13. % 1'lik asit alkol çözeltisine 3 kez daldırıldı. Çeşme suyunda yıkandı.
14. % 1'lik amonyak çözeltisine 3 kez daldırıldı. Çeşme suyunda yıkandı.
15. Eozinde 30- 120 saniye bekletildi ve yıkandı.
16. % 70, 80, 90'lık etil alkollere 5'er kez batırılarak dehidrate edildi.
17. 2 defa asetona 5'er kez asetona batırıldı.
18. Havada kurutuldu.
19. 2 kez ksileneyle yıkandı. Balzamla lameller kapatıldı.

Operasyon sonrası yapılan biomikroskopik muayenelerde bir deneğe kortikospongioz greft implante edildiği gözlenerek çalışma dışı bırakıldı. Postoperatif dönemde deneklerde greft alınan bölgede ve gözde enfeksiyon görülmedi. Opereliğimiz tüm denekler izlem sürelerini sağlıklı olarak tamamladılar.

## **4. BULGULAR**

### **1. grup (otojen greftlər)**

#### **1.denek**

Postoperatif ilk 3 günlük bakımı takiben yapılan biomikroskobisinde ön kamarada enflamatuar reaksiyon, sütür yerinde anterior sineşi, greft üzerinde hemoraji, çekilen ilk iris fluoresceine anjiografisinde (İ.F.A de) greft çevresinde minimal opak madde gözlendi. **(Resim 1)**

6. günde yapılan biomikroskopik muayenede ön kamarada enflamatuar reaksiyonun devam ettiği, çekilen ikinci İ.F.A. de greftin periferden ve santraldan vaskülarize olduğu gözlendi. **(Resim 2)**

9.günde çekilen İ.F.A. de greftin tamamının vaskülarize olduğu gözlendi. **(Resim 3)**

#### **2.denek**

Postoperatif 3. gün çekilen ilk İ.F.A.de greft üzerinde hemorajinin olması nedeniyle vaskülarizasyon değerlendirilemedi.

Postoperatif 6. gün çekilen İ.F.A.de greft üzerinde hemorajinin azalmakla birlikte devam ettiği ancak vaskülarizasyonun başlamış olduğu gözlendi.

Postoperatif 9. günde yapıla İ.F.A.de greftin tamamının vaskülarize olduğu gözlendi.

### **3.denek**

Postoperatif 3.gün yapılan biomikroskopik muayenede insizyon bölgesinde sineşi graft üzerindeki korneada vaskularizasyon gözlandı. İ.F.A.de vaskularizasyon gözlenmedi.

5.gün yapılan biomikroskopik muayenede enfamatuar reaksiyonun devam ettiği gözlandı. İ.F.A.de vaskularizasyon görülmedi.

7.günde yapılan İ.F.A.de graftin periferal vaskularizasyonunun olduğu merkezden de damarlanmanın başladığı görüldü.

11.günde graftin tama yakın vaskülerize olduğu gözlandı

13. günde vaskularizasyonun tamamlandığı gözlandı.

### **4. denek**

Postoperatif 3.gün çekilen İ.F.A.de graft üzerinde hemorajik olması nedeniyle vaskularizasyon değerlendirilemedi.

6.gün çekilen İ.F.A.de hemorajinin azaldığı ve periferden vaskularizasyonun başlamış olduğu gözlandı.

9. gün çekilen İ.F.A.de graftin tamamının vaskularize olduğu gözlandı.

### **5.denek**

Postoperatif 3.gün çekilen İ.F.A.de graft üzerinde hemorajik olması nedeniyle vaskularizasyon değerlendirilemedi.

6.gün çekilen İ.F.A.de hemorajinin azaldığı ve periferden vaskularizasyonun başlamış olduğu gözlandı.

9. gün çekilen İ.F.A.de graftin tamamının vaskularize olduğu gözlandı.

**Patolojik inceleme:** Postoperatif 21. gün sakrifiye edilerek histolojik kesit hazırlanan 5 adet otojen greftin H.E ile boyanmış kesitlerinin mikroskopik incelemesinde greftlerde belirgin vaskularizasyon, yeni kemik oluşumu yanısıra matür kemiğin varlığı , matür yağ hücreleri ve zengin kemik iliği elemanları içeren kemik iliği gözlandı. Örneklerin hiçbirinde dejenere kemik yapısı gözlenmedi. (**Resim 4, Resim 5**)

## **2. grup (dondurulmuş greftler)**

### **1. denek**

Post operatif 7. günden 36. güne kadar çekilen 7 adet İ.F.A.de greft üzerinde vaskularizasyonun olmadığı gözlandı.

Post operatif 46. günde çekilen İ.F.A.de minimal vaskularizasyon bulguları gözlandı. Ancak korneal vaskularizasyona mı, greftin revaskularizasyonuna mı ait olduğu ayırd edilemedi.

Postoperatif 55, 73, 96. günlerde çekilen 3 adet İ.F.A.de vaskularizasyon şüphesinin devam ettiği ancak kesin vaskülerize diyebilmek için greftin tamamen opak maddeyi aldığı gözlandı.

### **2. denek**

Post operatif 7 ve 46 . günler arasında çekilen 9 adet İ.F.A.de greft üzerinde vaskularizasyona ait bulgu gözlenmedi.

Post operatif 55. günde çekilen İ.F.A.de grefte ya da korneaya ait olduğu düşünülen vaskularize alan gözlandı.

Post operatif 73, 96. güne kadar çekilen 2 adet İ.F.A.de daha önce çekilen anjiografide ki vaskularizasyon bulgularının değişmediği gözlandı.

**3. denek**

Post operatif 7 ve 36. günler arasında yapılan 8 adet İ.F.A.de vaskülarizasyona ait bulgu saptanmadı. (**Resim 6**)

Post operatif 46. günde çekilen İ.F.A.de grefte ait vasküler alan gözlendi. (**Resim 7**)

Post operatif 55, 73, 96. güne kadar çekilen 3 adet İ.F.A.de vaskülarizasyon bulgularında değişiklik gözlenmedi. (**Resim 8**)

**4. denek**

Post operatif 7 ve 36. günler arasında yapılan 8 adet İ.F.A.de vaskülarizasyona ait bulgu saptanmadı.

Post operatif 46. günde çekilen İ.F.A.de grefte ait vasküler alan gözlendi.

Post operatif 55, 73, 96. güne kadar çekilen 3 adet İ.F.A.de vaskülarizasyon bulgularında değişiklik gözlenmedi.

**5.denek**

Post operatif 7 ve 36. günler arasında yapılan 8 adet İ.F.A.de vaskülarizasyona ait bulgu saptanmadı.

Post operatif 46. günde çekilen İ.F.A.de grefte ait vasküler alan gözlendi.

Post operatif 55, 73, 96. güne kadar çekilen 3 adet İ.F.A'de vaskülarizasyon bulgularında değişiklik gözlenmedi.

*Patolojik inceleme:* Postoperatif 96. gün sakrifiye edilerek histolojik incelemeye alınan dondurulmuş 5 adet allogreftin H.E ile boyanmış kesitlerinin yapılan

mikroskopik değerlendirmesinde tüm greftlerin vaskülarize olduğu gözledi. 4 adet denek daha belirgin olmak üzere tüm deneklerde matür kemiğin yanısıra oldukça fazla yeni kemik oluşumu yani osteblastik aktivite gözlendi. Matür yağ hücreleri daha belirgin olmak üzere tüm kemik iliği elemanları görüldü. (**Resim 9, Resim 10**)

### **3.grup (Otoklavize otojen greftler)**

#### **1. denek:**

Postoperatif 1. günden 167. güne kadar çekilen 17 İ.F.A.de vaskülarizasyona ait herhangi bir bulguya rastlanmadı. (**Resim 11, Resim 12, Resim 13**)

#### **2. denek**

Postoperatif 1. günden 167. güne kadar çekilen 17 İ.F.A. de vaskülarizasyona ait herhangi bir bulguya rastlanmadı.

#### **3. denek**

Postoperatif 1. günden 167. güne kadar çekilen 17 İ.F.A. de vaskülarizasyona ait herhangi bir bulguya rastlanmadı.

#### **4. denek**

Postoperatif 1. günden 167. güne kadar çekilen 17 İ.F.A.de vaskülarizasyona ait herhangi bir bulguya rastlanmadı.

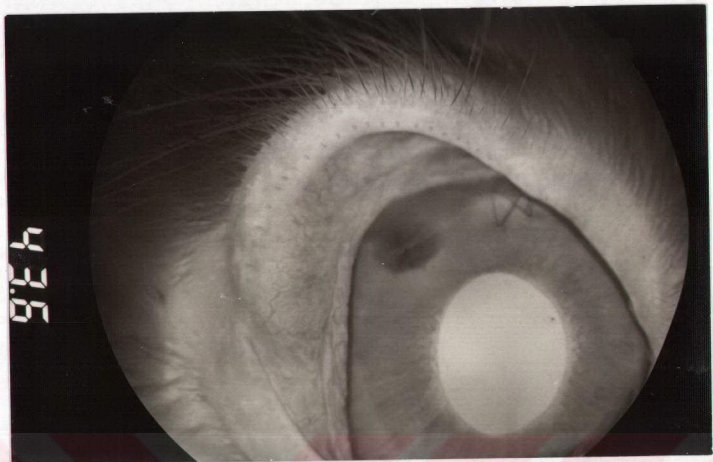
#### **5. denek**

Postoperatif 1.günden 167. güne kadar çekilen 17 İ.F.A. de vaskülarizasyona ait herhangi bir bulguya rastlanmadı.

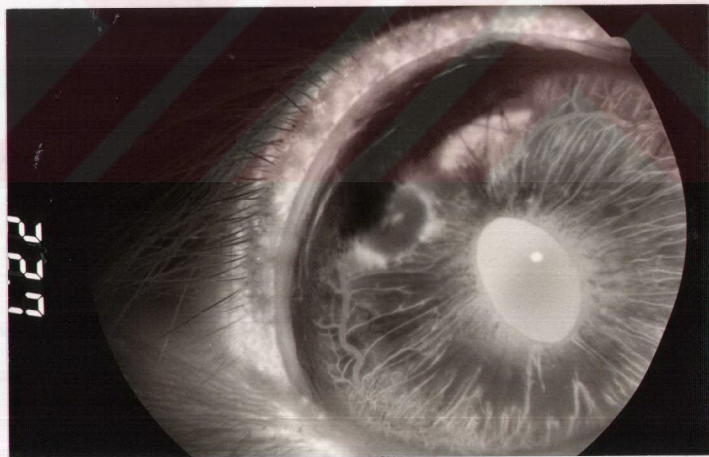
***Patolojik inceleme:*** Postoperatif 167. gün sakrifiye edilerek histolojik incelemeye alınan 5 adet otoklavize edilmiş greftlerin H.E ile boyanmış kesitlerinin değerlendirmesinde kemik yapısının bozulmuş olduğu, kemik iliği alanlarının tamamen boş olduğu, vakuoler bir görünümde olduğu gözlenmiştir. Deneklerin 3 tanesinde

periferde, çok sınırlı bir alanda minimal yeni kemik oluşumu dikkat çekiciydi. Tüm preparatlarda çevre dokularda belirgin iltahabi hücre artışı mevcuttu. ( **Resim 14**, **Resim 15**)

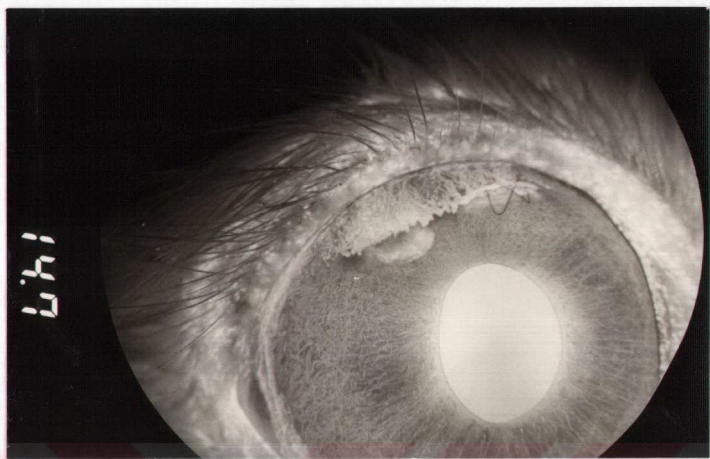




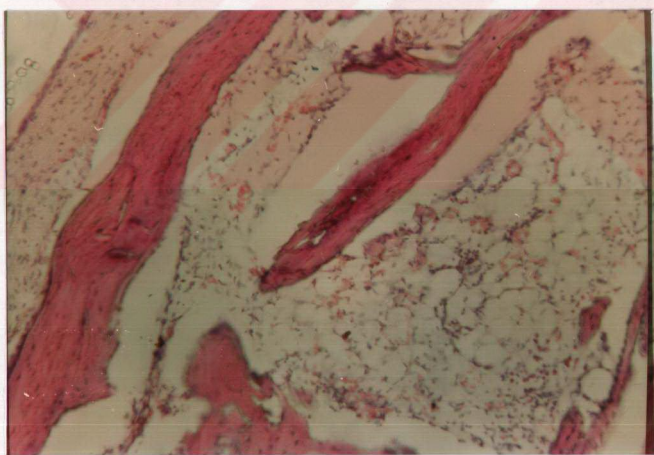
**Resim 1:** Otojen greft, 3. gün çekilen İ.F.A.de çevresinde minimal opak madde birikimi mevcut, greft içerisinde vaskülarizasyonu gösteren opak madde birikimi yok.



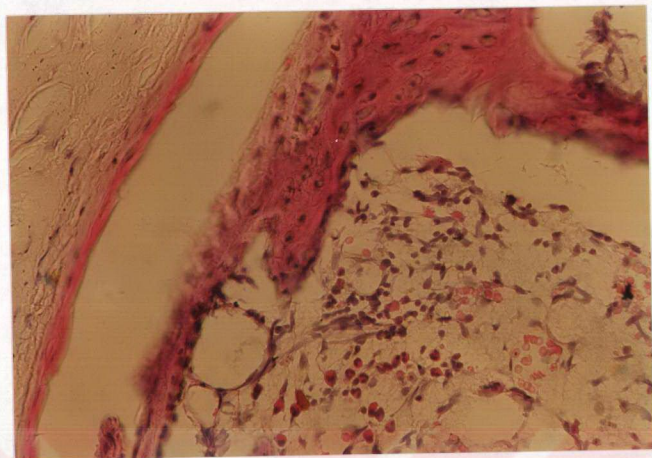
**Resim 2:** Otojen greft, postoperatif 6.gün çekilen İ.F.A.de greft ortasında revaskülarizasyonu gösteren opak madde birikimi.



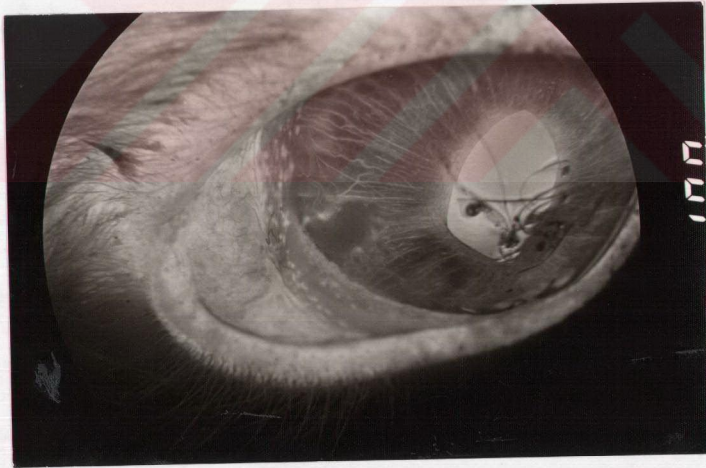
**Resim 3:** Otojen graft, 9.gün çekilen İ.F.A.de graft revaskülarizasyonu belirgin olarak gözlenmekte.



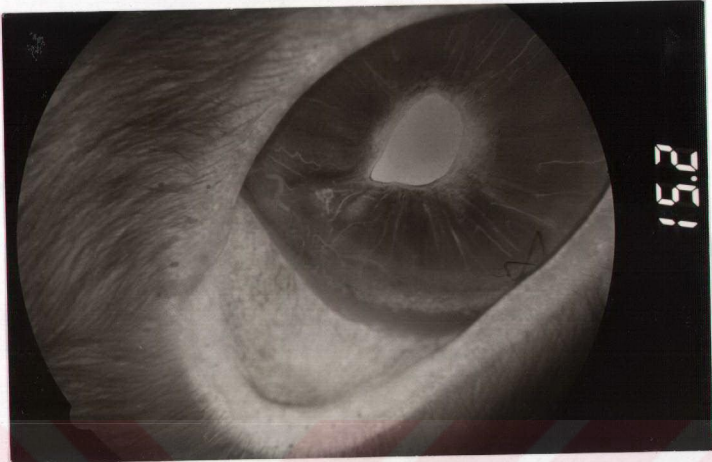
**Resim 4:** Otojen graft, graft üzerinde belirgin damarlanma , yeni kemik oluşumu ve kemik iliği gözlenmekte.(H.E x 20)



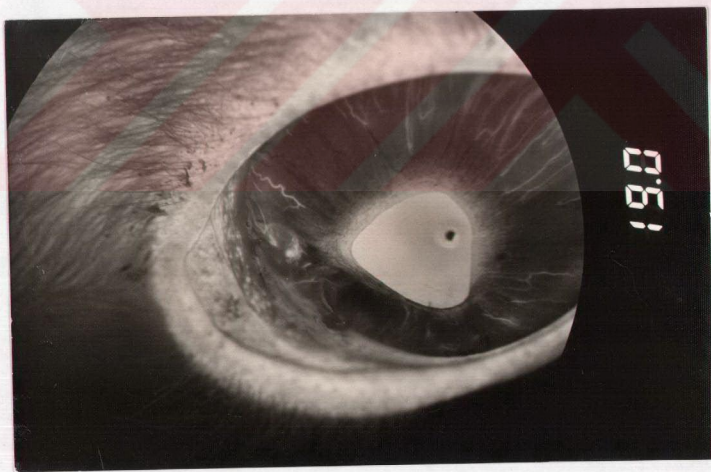
**Resim 5:** Otojen greft, periferde yeni kemik oluşumu, merkezde ise vasküler yapılar ve kemik iliği. (H.E x 50)



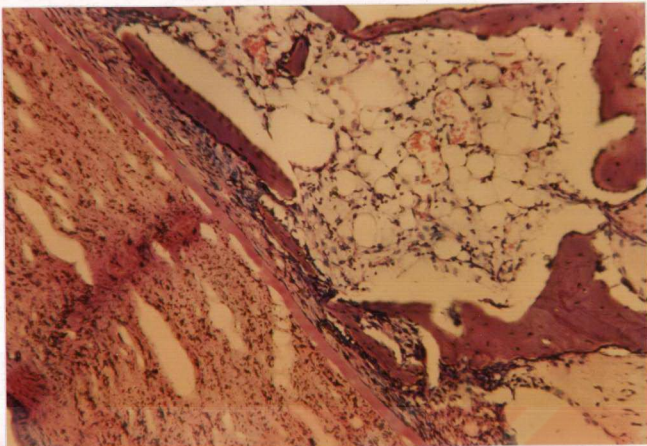
**Resim 6:** Dondurulmuş allograft, 7.gün çekilen İ.F.A.de greft çevresinde minimal opak madde tutulumu mevcut. Greft içerisinde vaskularizasyona ait bulgu yok.



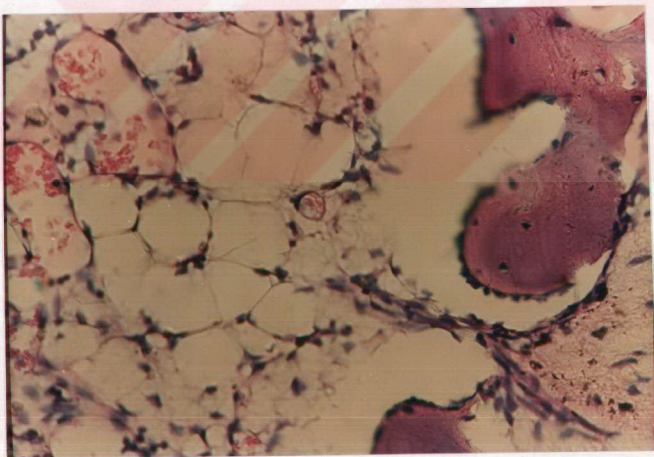
**Resim 7:** Dondurulmuş allograft, 46. gün çekilen İ.F.A.de greft üzerinde minimal opak madde tutulumu mevcut.



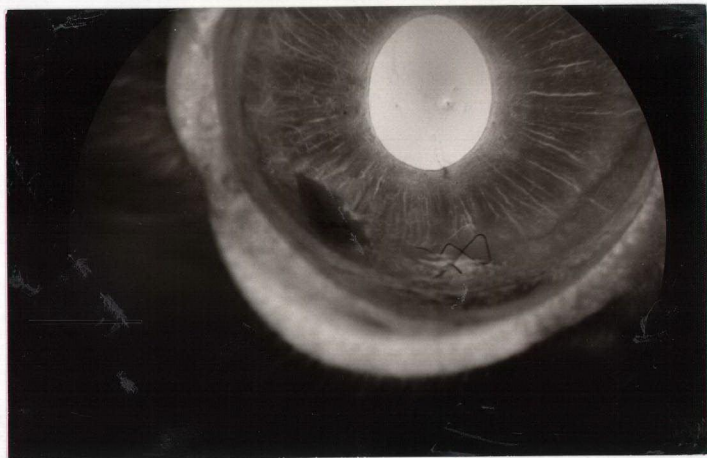
**Resim 8:** Dondurulmuş allograft, 96.gün çekilen İ.F.A.de greft üzerinde parsiyel opak madde tutulumu mevcut.



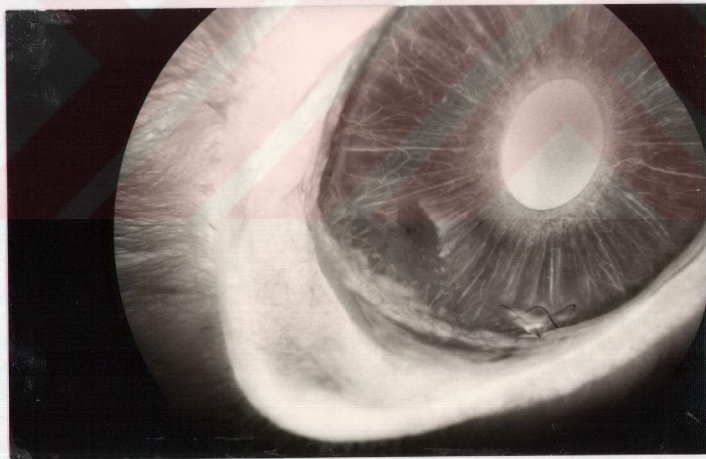
**Resim 9:** Dondurulmuş allograft, matür kemik ve osteoblaslar bir alanda.  
Vasküler yapılar, kemik iliği mevcut. (H.E x 20)



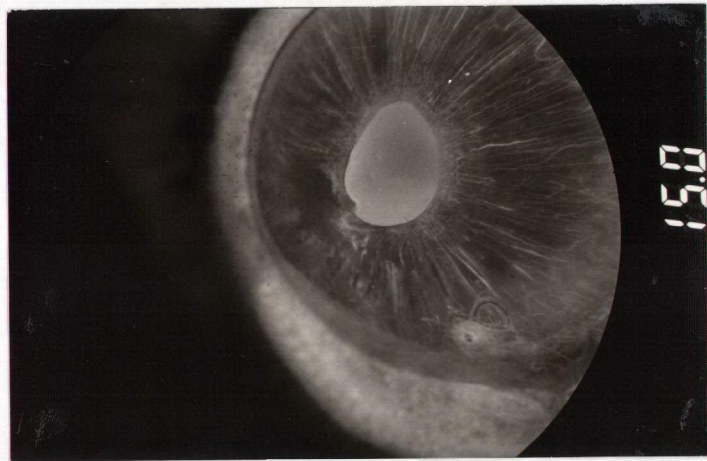
**Resim 10:** Dondurulmuş allograft, Ortada vasküler yapılar ve kemik iliği  
kemik dokusunda periferde yeni kemik oluşumu. (H.E x50)



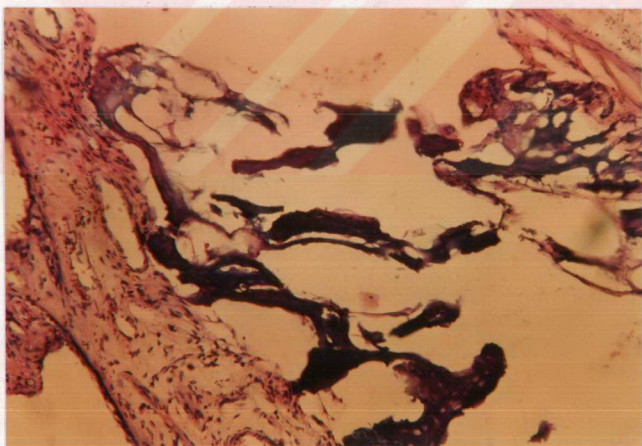
**Resim 11:** Otojen otoklavize greft, 7.gün çekilen İ.F.A.de greft çevresinde minimal opak madde tutulumu mevcut. Greftte ait revaskülarizasyon bulgusu gözlenmedi.



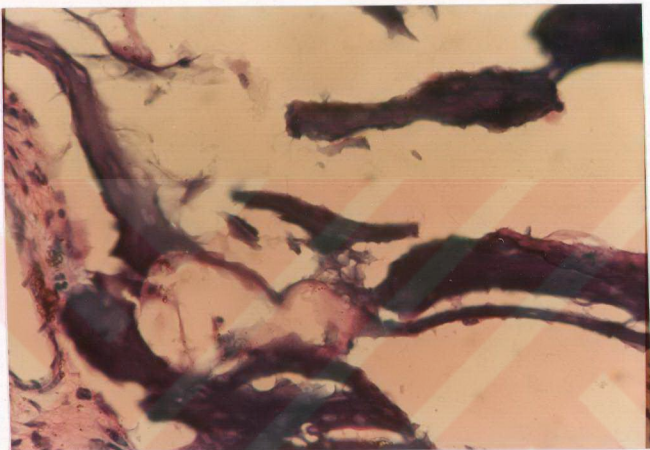
**Resim 12:** Otojen otoklavize greft, 73 gün çekilen İ.F.A.de greft çevresinde opak madde tutulumu mevcut. Greft içerisinde vaskülarizasyon düşündürecek bulgu yok.



**Resim 13:** Otojen otoklavize grafted, 167. gün çekilen İ.F.A.de grafted çevresinde opak madde tutulumu var. Graft içinde vaskülarizasyonu gösteren opak madde tutulumu yok.



**Resim 14:** Otoklavize otojen kemik grafted, nekrotik kemik spikülleri gözlenmekte. Kemik iliği alanları boş. Kemik vakuolar görünümde. (H.E x 20)



**Resim 15:** Otoklavize otojen kemik grefti, nekrotik kemik spikülleri görülmekte. Boş lakanalar izlenmekte. Vaskularizasyon gözlenmemekte. (H.E x 50)

Otojen graftedlerin 4 tanesinin 6. gün çekilen çekilen İ.F.A'de, 1 tanesinin de 7. gün çekilen İ.F.A'de revaskülarize olmaya başladığı gözlandı. Ortalama revaskülarizasyon başlama zamanı  $6,2 \pm 0,2$  gün olduğu saptandı. Otojen graftedlerin 4 tanesi revaskülarizasyonunu 9. günde tamamlarken 1 tanesi 11. günde tamamladı. Ortalama vaskülarizasyon tamamlanma zamanı  $9,4 \pm 0,9$  gün olarak bulundu.

Dondurulmuş allograftlerin izlem süresi uzunluğu nedeniyle korneal irritasyona bağlı olarak kornea üzerinde neovaskülarizasyon gelişti. Bu durum graftedlerin revaskülarizasyonunu değerlendirmemizde sorumlara yol açtı. Dondurulmuş allojen 4 adet graftedin 46. günde 1 tanesinde, 55. günde revaskülarizasyonunun başladığı gözlandı. Ortalama revaskülarizasyon zamanı  $47,8 \pm 4,0$  gün olarak bulundu. Postoperatif 96. güne kadar çekilen İ.F.A.de graftedlerin tamamının revaskülarize olduğu gösterilemedi.

Otoklavize otojen graftedlerin postoperatif 167. güne kadar çekilen İ.F.A.lerinde revaskülarizasyonu gösteren bulguya rastlanmadı (Tablo 2).

Histolojik olarak incelenen 5 adet otojen graftedte çevre dokuda fibrosis, damarlanması, kemik iliği ve grafted içersinde damarlanması gözlenmiştir. 2 graftedte kemik iliğinde minimal fibrosis gözlenmiştir. 2 adet graftedte osteoblastik aktivitenin tamamlandığı graftedeki hücrelerin olgun kemik hücrelerine yani osteositlere dönüştüğü gözlenmiştir. Diğer 3 graftedte yeni kemik oluşumuyla birlikte olgun kemik hücreleri birlikte gözlenmiştir. Graftedlerin 1 tanesinde osteoklast gözlenmiş ancak dejeneratif kemik rastlanmamıştır.

Dondurulmuş allograftedlerde de otojen graftedlerde olduğu gibi çevre dokuda fibrosis ve damarlanması vardı. Tüm allograftedlerde otojen graftedlere oranla daha az damarlanması, daha az yoğunlukta kemik iliği ve otojen graftedlere oranla artmış bir kemik iliği fibrozisi gözlandı. Tüm allograftedlerde otojenlere oranla yeni kemik oluşumu artmış, ancak matür kemik hücresi azdır. Allograftedlerin 1 tanesinde çok küçük bir alanda dejeneratif kemik gözlandı.

Otoklavize greftlerin tümü avasküler, kemik iligidenden yoksun, dejenerere bir görünümeye sahipti. Hiçbirinde matür kemik hücresına rastlanmadı. Otoklavize greftlerin 4 tanesinin çevre dokusunda damarlanma artışı, fibrozis gözlenirken; bir tanesi çevre dokudan ayrı, serbest haldeydi. 3 otoklavize greftin kenarında çok sınırlı bir alanda osteoblastik aktivite gözlendi (Tablo 3).

**Tablo 2:** Greftlerin revaskularizasyonunun İ.F.A. ile değerlendirilmesi.

Greft no	Otojen revasküla		Donduru.	Revasküla	Otoklav.	Revasküla
	Başlangıç	Sonlanış	Başlangıç	96. gün	Başlangıç	167. gün
1	6. gün	9. gün	46. gün	tam değil	-	-
2	6. gün	9. gün	55. gün	tam değil	-	-
3	7. gün	11. gün	46. gün	tam değil	-	-
4	6. gün	9. gün	46. gün	tam değil	-	-
5	6. gün	9. gün	46. gün	tam değil	-	-

**Tablo 3: Graftlerin histolojik bulgularının tablo halinde gösterimi**

Graft no	Dejenere kemik	Yeni kemik	lamelloz kemik	osteklast	Kemikte damarlanmasıma	Kemik iliği varlığı	K.I fibrozisi	çevre dokuda fibrozis	çevrede damarlanmasıma
Otojen 1	-	++	++	+	+++	+++	Minimal	+	+
Otojen 2	-	-	+++	-	+++	+++	minimal	+	+
Otojen 3	-	++	++	-	+++	+++	-	+	+
Otojen 4	-	-	+++	-	+++	+++	-	+	+
Otjen 5	-	++	++	-	+++	+++	-	+	+
Dondu. 1	+	++	++	-	++	++	+	+	+
Dondu. 2	-	++	++	-	++	+	minimal	+	+
Dondu. 3	-	++	++	-	++	+	+	+	+
Dondu. 4	-	++	++	-	++	++	+	+	+
Dondu. 5	-	++	+++	-	++	+	-	+	+
Otokla. 1	+++	-	-	-	-	-	-	-	-
Otokla. 2	+++	minimal	-	-	-	-	-	+	+
Otokla. 3	+++	minimal	-	-	-	-	-	+	+
Otokla. 4	+++	-	-	-	-	-	-	+	+
Otokla. 5	+++	minimal	-	-	-	-	-	+	+

## **5. TARTIŞMA**

Ortopedik cerrahinin en önemli problemlerinden birisi de konjenital anomali, travma, tümör gibi nedenlerle oluşan büyük kemik defeklerinin ortadan kaldırılarak iskelet sistemi bütünlüğünü sağlamaktır. Bu amaçla otojen, allojen, otoklavize kemik greftleri, protezler, kemik görevini üstlenebilecek biyolojik olmayan materyeller, Ilizarov yöntemiyle uzatma teknikleri kullanılmıştır.

Yapılan deneysel çalışmada kemik greftlerinin revaskularizasyonuyla internal onarımı yani “creeping substitution” değerlendirildi.

Çalışmayı deneğe zarar vermekszin uzun süre izleyebilmek amacıyla anjiografik tetkik üzerine kurduk. Sonuçlarımızı direk gözleyebilmek amacıyla greftleri göze implante ettik. İ.F.A.ni ve biomikroskopik muayeneyi sağlıklı yapabilmek için tüm tavşanları albino seçtiğimizde ve greftlerin revaskularizasyonunun değerlendirileceği İ.F.A çekimlerinde kolaylık sağlamak amacıyla greftleri ön kamaranın temporaline yerleştirdik.

Otojen ve dondurulmuş allogreftler transplante edildikten sonra üzerleri bir pihtıyla kaplandı. Pihti 2 gün süreyle ortadan kalkmadı. Böylelikle greft içersinde canlı kalabilmiş hücrelerin diffüzyonla beslenmesine olanak sağlanmış oldu. Otoklavize otojen greftlerde bu olay gözlenmedi.

Otojen greftlerde vaskularizasyon ortalama  $6,2 \pm 0,4$ . günde başladı ve  $9,4 \pm 0,9$ . günde tamamlandı. Dondurulmuş allogreftlerde ise vaskularizasyon başlangıcı ortalama  $47,8 \pm 4,0$  gündü. Vaskularizasyonun 96. günde çekilen İ.F.A’lerinde henüz tamamlanmamış olduğu düşünüldü. Otoklavize otojen greftlerde 167 gün süresince çekilen İ.F.A’da revaskularizasyona ait bulgu saptanmadı.

Deleu (48) yaptığı deneysel anjiografik çalışmada 8. günde otojen spongioz kemikte, 45. günde dondurulmuş allojen grefte vaskularizasyon gözlemiș ancak kaynatılarak sterilize edilmiş otojen greftlerde vasküler invazyon görmemişti. Mikroskopik incelemede allojen greftlerin vasküler yapılarının ve hücre sayısının otojenlere oranla daha az olduğu, kaynatılmış greftlerde ise vasküler yapıların greft içersine girmediği ve hücre yönünden çok fakir olduğunu belirtmiştir.

Goldberg (74) yaptığı çalışmada otojen greftlerin genelde taze olarak kullanıldığını, bu greftlerin üzerinde osteoblastik aktivite gösterebilecek hücrelerin bulunduğuunu, allogreftlerin genetik farklılıklar nedeniyle vasküler yapısının geç ve zayıf olduğunu belirtmiştir.

İnternal onarımı geciktiren immünolojik reaksiyonlardır. İmamaliev (75) dondurmanın immünolojik olayları baskıladığını, dondurarak optimal saklama derecesinin ise -70 °C'de olduğunu belirtmiştir. Immünolojik olayların başlamasına neden olan major histokompatibilite antijenlerdir ki bunlar iki gruptur. Birinci grup HLA-A, HLA-B, HLA-C antijenlerini barındırır. Bu antijenler vücutta bütün çekirdek içeren hücrelerde gözlenir. Bu antijenler T hücreleri aktive ederler. İkinci grup ise HLA-D ve alt gruplarını içerir. B lenfositlerde yoğun olarak bulunurlar (76).

Horowitz ve Friedlander (77) yaptığı in vitro çalışmada major histokompatibilite antijenlerinin % 90'dan daha fazla T hücrelerini aktive ettiğini gözlemiș ve allogreftlerin internal onarımının hücresel immünitenin aktive edilmesi nedeniyle gecittiğini belirtmiştir.

Yapılan klinik çalışmalarında vasküler invazyonun greft inkorporasyonunu doğrudan ilgilendirdiği gözlenmiştir. Allogreft uygulamasını takiben kırılan 16 allogrefti histolojik olarak inceleyen Boby ve arkadaşları (78) kırığın oluşmadığı bölgelerin vaskularize olduğu, kırık gözlenen bölgelerde ise vaskularizasyona ait bulguların

olmadığını gözlemişlerdir. Allojen greftlere oluşan 16 kırığın 8 tanesini otojen greftle tedavi edebilmişlerdir.

Otojen ve dondurulmuş allojen greftlerde spinal füzyonlarda kaynamamayı araştıran Auori ve arkadaşları (79) 114 otojen kemik grefti kullanılan hastaların 5 tanesinde, 94 dondurulmuş allojen greft kullanılan hastaların da 5 tanesinde kaynamama gözlemlemişlerdir. İstatistiksel olarak kaynamama açısından iki grup arasında anlamlı bir fark saptayamamışlardır.

Burchard (69) köpek fibular allogreftleri histolojik ve radyolojik olarak değerlendirmiştir ve 3 tip inkorporasyon gözlemiştir. Tip 1, genelde otojen greftlerde gözlenen yeterli inkorporasyondur. Çalışmasında otojen greftlerin %85'inde Tip 1 %15'indeyse Tip 2 internal onarım gözlemiştir. Tip 3, alıcı ve greft arasında büyük uyumsuzluk olduğunda kırık ya da kaynamama ile karakterize olan iyileşme tipidir. Çalışmasında allojen greftlerin %20 sinde bu tip internal onarım gözlenmiştir. Tip 2, onarım ise greftle alıcı arasında az da olsa doku uyumsuzluğu olduğunda ortaya çıkan onarım tipidir. Allojen greftlerin %60'ı bu şekilde iyileşmiştir. Allojen greflerin kalan %20'sinde iyileşme Tip 1 iyileşme şeklinde olmuştur.

Allojen greftlerin pahalı bankacılık yöntemleri gerektirmesi, uygun boyutlarda greft bulma zorluğu nedeniyle otojen greftler sterilizasyon ve devitalizasyon amacıyla otoklavize edilerek kullanılmışlardır( 12, 80).

Otoklavizasyon süresi ve ısısını belirlemek için Köhler (81) greftin mekanik direncini  $131^{\circ}\text{C}$  2 dakika,  $121^{\circ}\text{C}$  20 dakika,  $110^{\circ}\text{C}$  225 dakika otoklavize ederek ölçümiş en iyi sonucu  $131^{\circ}\text{C}$ 'de 2 dakikalık otoklavizasyonda, en kötü sonucu  $110^{\circ}\text{C}$ 'de 225 dakikalık otoklavizasyonda elde etmiştir.

Ancak  $131^{\circ}\text{C}$ 'de 2 dakikalık otoklavizasyon süresinin çok kısa olması ölçümlerde hata yapılabileceği kuşkusunu nedeniyle  $121^{\circ}\text{C}$  20 dakika süreyle

otoklavizasyon standart cerrahi otoklavizasyon olarak kabul edilmiştir. Biz de çalışmamızda greftleri bu şekilde hazırladık.

Köhler (82) demineralize kemik matriksiyile desteklenen ve desteklenmeyen iki grup dondurulmuş allojen ve otoklavize otojen greftleri izlemiştir. Demineralize kemik matriksiyile desteklenmemiş grupta her iki tip grefte yeni kemik oluşumu ve inkorporasyonun zayıf olduğu, ancak dondurulmuş greftlerde mineral içériginin fazla olduğunu gözlemiştir ve sonuç olarak iki greftin inkorporasyonları arasında fark olmadığını, bu greftlerin demineralize kemik matriksiyile desteklenmesini önermiştir.

Kemik morfojenik protein (BMP) kemik dokusu yıkıldığından ortaya çıkan ve plüripotansiyel mezenkimal hücreleri uyararak onların osteoblastlara farklılaşmasını sağlayan proteindir (43). Dondurma işleminden sonra BMP fizyolojik özelliklerini kaybetmediği saptanmıştır (83). Ancak otoklavizasyon sonucu BMP denatüre olduğu ve kemiğin osteoindüktif yeteneğini yitirdiği gözlenmiştir (84).

Yalnız ve ark. (85) 3 hafta süreyle dondurulmuş ve 120 °C'de 20 dakika süreyle otoklavize edilmiş greftleri elektron mikroskopunda gözlemiştir; dondurulmuş greftin osteosit ve osteoblastlarında hücre organel sayısında azalma olmasına karşın canlı olduğu, kollejen liflerinin düzenli bir dizilim gösterdiği saptanmış, ancak otoklavize edilen greftlerde osteosit ve osteoblastların boşluklar halinde görüldüğünü, çekirdeklerini ve diğer hücre organellerini kaybetmiş olduklarını, kollejen liflerin destrükte olduğunu gözlemiştir.

Johnston (86) tümör nedeniyle rezeksiyon yapılarak otoklavizasyon sonrası protezle birlikte implante edilen 15 hastanın 9 tanesinde fonksiyonel olarak iyi sonuc almış. Ancak 1 yıl sonra yapılan biopsilerinde inkorporasyonun olmadığı, kemiğin involukrum görünümünde olduğu çevresinin fibröz bir dokuya çevrili olduğunu gözlemiştir. Aynı yazarların daha önce yaptığı denesel çalışmalarında da otojen greftlerin iyileşmesi hızlı, dondurulmuş allojen greftlerin daha yavaş, otoklavize greftlerin iyileşmesini ise çok yavaş olduğunu gözlemiştir.

Çalışmamızda otoklavize otojen greftlerde 167. gün çekilen anjiografide vaskülarizasyona rastlanmaması ve daha sonra yapılan histolojik kesitlerde 3 tanesinde çok sınırlı bir alanda ihmal edilebilecek derecede az osteblastik aktivite gözlenmesi osteoindüktif ve osteokondüktif etkilerinin çok az olmasına bağlanmıştır.

## **6. SONUÇ**

Ortopedik cerrahi en çok düşündüren ve uğraştıran başlıca problemlerden biri tümör, konjenital anomali, travma ve osteomiyelit gibi nedenlerle gelişebilen büyük kemik kayıplarının onarımı ve iskelet sisteminin olağan fonksiyonlarını yerine getirebilmesi için kemiksel bütünlüğün yeniden kurulabilmesidir. Bu defektlerin onarımında otojen, dondurularak saklanmış allojen, otoklavize edilerek devitalize edilmiş otojen kemik greftlerinin kullanımı akla gelen ilk tedavi seçeneklerindendir.

Yukarda belirtilen tip greftlerle yaptığımımız çalışmayı literatür bilgisile karşılaştırıp değerlendirdiğimizde aşağıdaki sonuçlara ulaştık.

1. Internal onarımın hızı kemiğin revaskülarizasyonu bağlıdır. Otojen kemik greftlerinde canlı kalabilen hücreler hızlı revaskülarizasyon sonucu canlılıklarını devam ettirebilmekte, bu durumda hızlı bir osteoindüktif ve ostekondüktif cevabınamasına ve erken bir internal onaruma yol açmaktadır.
2. Dondurulmuş allojen greftlerde revaskülarizasyon ve internal onarım major histokompatibilite antijenlerine bağlı olarak otojenlere göre geç olmaktadır.
3. Otoklavize edilerek devitalize edilmiş otojen greftlerde kemik morfojenik proteinin de denature olması osteoindüktif etkiyi ortadan kaldırır, greftin devitalize olması ostekondüktif etkiyi azaltmaktadır. Klinik kullanımlarında demineralize kemik matriksi ya da otojen greftlerle desteklenmesi uygun değildir.

## 7. ÖZET

Bu deneysel çalışmada taze otojen, dondurulmuş allojen ve otoklavize otojen spongioz kemik greftlerinin revaskülarizasyonu ve internal onarımı anjiografik ve histolojik yöntemlerle araştırıldı.

Otojen kemik greftleri tavşan tibia metafizlerinden alındıktan hemen sonra, dondurulmuş allojen greftler  $-70^{\circ}\text{C}$ ' de 3 haftalık saklamayı takiben oda ısısında çözündürdükten sonra, otoklavize otojenler ise her tavşanın tibia metafizinden alınıp  $120^{\circ}\text{C}$ ' de 20 dakika otoklavize edildikten sonra tavşan gözlerinin ön kamaralarına yerleştirildi.

Belirli aralıklarla çekilen İ.F.A.de otojen greftlerin  $6,2 \pm 0,4$  günde vaskülerize olmaya başladığı,  $9,4 \pm 0,9$  günde vaskülarizasyonunu tamamladığı görüldü. Dondurulmuş allojen greftlerin  $47,8 \pm 4,0$  günde vaskülerize olmaya başladığı ancak izlendikleri 96 gün boyunca vaskülarizasyonunu tamamlayamadıkları saptandı. Otojen otoklavize greftlerde ise, izledikleri 167 gün boyunca vaskülarizasyona ait bulgu gözlenmedi.

Histolojik değerlendirmelerde ise otojen ve dondurulmuş allojen greftlerde nekrotik kemik yerini tamamen yeni oluşan kemik ve vasküler ve kemik iliği içeren olgun kemiğe bırakmış olmasına karşın; otojen otoklavize kemikte çok sınırlı bir alanda minimal osteoblastik aktivite saptandı.

Spongioz otojen kemiklerin revaskülarizasyonun ve internal onarımının en hızlı ve en iyi, dondurulmuş allojen greftlerin revaskülarizasyonun otojenlere oranla daha yavaş ve az, internal onarımının iyi olduğu görüldü. İzlendiği süre içerisinde otoklavize otojen greftlerin revaskülarizasyonun olmadığı, internal onarımın ise ihmali edilecek düzeyde az olduğu görüldü.

## **8. KAYNAKLAR**

1. Prolo DJ, Rodrrigo JJ. Contemporary bone graft physiology and surgery. *Clin Orthop.* 200:322-331, 1985.
2. Mankin HJ, Dopelet SH, Sullivan TR, et al. Osteoarticular and intercalary allograft transplantation in the management of malignant tumor of bone. *Cancer.* 50: 613-630, 1982.
3. Schneider J, Bright RW. Anterior cervical fusion using freeze-dried bone allograft. *Transplant Proc* 8 (suppl 1): 73-76, 1976.
4. Spence K, Bright R, Fitzgerald S, et al. Solitary unicameral bone cyst: Treatment with freeze-dried crushed cortical bone allograft. A review of 144 cases. *J Bone Joint Surg.* 58A:636-641, 1976.
5. Chase WS, Herndon HC. The fate of otogenous and homogenous bone grafts. *J.Bone and Joint Surg.* 37-A: 809-841, 1955.
6. Gürkan Kİ, Kocaoğlu H. Kemik Bankası. *İstanbul Univ. Tip.Fak.Mec.* 18:462, 1955.
7. Ege R. 1-Kemik greftleri ve Kemik Bankası 2-Muhitelik Kemik greftlerinin akibeti ve bunların greft yatağı ile münasebetine ait tecrübeler. *Ankara Univ. Tip.Fak.Mec.* Vol 15 No 3 ek 1-63, 1972.
8. Aykurt M. Tıbbi prensipleri ve yasal yönleri; Kemik bankası kurulması. *Sendrom:* 9-14, 1991.

9. Burchard H. Biology of bone transplantasyon., *Clin Orthop North Am.* 2:187-196, 1987.
10. Yablon IG, Cooperband S, Covall D. Matrix antigen in allografts (The humoral response). *Clin Orthop.* 168: 243-251, 1982.
11. Yablon IG, Cooperband S, Covall D. Matrix antigen in allografts (The cell mediated response). *Clin Orthop.* 172: 277-280, 1983.
12. Smith WS, Struhl S, Arbor A. Replantation of autoclaved autogeneus segment of bone for treatment of chondrosarkoma. *J Bone Joint Surg.* 70.A: 70-75, 1988.
13. Köhler P, Kreicbergs A. Chondrosarcoma treated by reimplantation of resected bone after autoclaving and supplemantation with allogeneic bone matrix. *Clin Orthop.* 249: 281-284, 1993.
14. Lauritzen C, Alberius P, Santenelli F, Vallfors B, Lilija J, Stephensen H. Reposition of craniofacial tumorus bone after autoclaving. *Skand J Plast Reconst Hand Surg.* 25: 161-165, 1991.
15. Daftari TK, Whitesides TE, Heller JG, et al. Nicotine on the revascularization of bone graft. *Spine* 8: 904-911, 1994.
16. Duthie RB, Ferguson AB. The musculo-skeletal system . In: Mercer's Orthopedic surgery, chapter 2, Ed. Edward Arnold , London, 8.ed. 1983, pp 27- 65.
17. Elias H, Pauly JE, Burns ER. Tissu sguelettique. In: Histology. Ed. Elias H, Pauly JE, Burns ER. Piccin Nuova Libraria S.P.A. Padova (Italie), 1984, pp 85-110.

18. Ross MH, Reith EJ, Romrell LJ. Bone histology. In: Histology a text and atlas. Chapter 8 Bone. Ed. Ross MH, Reith EJ, Romrell LJ. Williams & Wilkins, 2. ed. Baltimore , 1989. pp 141-178.
19. Marc SC, Papoff SN. Bone cell biology: The regulation of development, structure and function in the skeleton . *American J Anatomy* 183:1-44, 1988.
20. Kessel RG, Kardon RH. Tissue and organs. In: A text atlas of scanning , electron microscopy, chapter 3, skeletal tissue. Ed. WH. Freeman company, San Francisco, 1979, pp 19-34.
21. Menton DN, Simmons DJ, Chang SL, et al. From bone lining cell to osteocyte. *Anat Rec.* 209: 29-36, 1984.
22. Bab I, Howlett C R, Ashton BA, Owen ME. Ultrastructure of bone and cartilage forme in vivo in diffusion chambres. *Clin Orthop.* 187: 243-254, 1984.
23. Miller EJ, Martin GR. The collagen of bone. *Clin Orthop.* 59: 195-232, 1968.
24. Urist MR, Silverman BF. The Bone induction principle. *Clin Orthop.* 53: 243-283, 1967.
25. Urist MR. Surface decalcified allogenic bone implants. *Cin Orthop.* 56: 37-46, 1968.
26. Nilsson OS, Urist MR, Davson EG, et al. Bone repair induced by bone morphogenetic protein in ulnar defects in dogs *J Bone Joint Surg.* 68-B: 635-642, 1986.
27. Urist MR. Bone morphogenetic system in residues of bone matrix in the mouse. *Clin Orthop.* 91: 210-223, 1973.

28. Shin SS, Copp DH, Patterson FP. Measurement of the rate and distribution of the nutrient and other arterial blood supplyin long bones of the rabbit. *J Bone Joint Surg.* 50-B: 178-183, 1963.
29. Ray RD. Circulation and the skeletal system. *J Bone Joint Surg.* 50-A: 764- 765, 1968.
30. Shim SS. Physiology of blood circulation of bone. *J Bone Joint Surg.* 50-A: 812-824, 1968.
31. Rand JA, Berquist TH. Fractures healing. In: Imaging orthopedic travma and surgery. Ed. Bequist TH. Philedelphia, W.B. Saunders company, 1986, pp. 51-90
32. Kane WJ. Fundamental concepts in bone blood flow studies. *J Bone Joint Surg.* 50-A: 801-811, 1968.
33. Kelly PJ. Anatomy, physiology and pathology of the blood supply of bone. *J Bone Joint Surg.* 50-A: 766-783, 1968.
34. Mankin HJ, Doppelt S, Tomfort W. Clinical experience with allograft implantation. *Clin Orthop.* 174: 69-86, 1983.
35. Holden CEA. The role of blood supply to soft tissue in the healing of diaphyseal fractures. *J Bone Joint Surg.* 54-A: 993-1000, 1972.
36. Rhinelander FW. The normal microcirculation of diaphyseal cortex and its reponse to fracture. *J Bone Joint Surg.* 50-A: 784-800, 1968.
37. Strachan RK, McCarthy I, Fleming R, Hughes SPF. The role of the tibial nutrient arter. *J Bone Joint Surg.* 72-B: 391-394, 1990.

38. Rhinlander FW. The blood supply of the limb bone. In : Scientific foundation of orthopaedics and travmatology. Eds. Owen R., Goodfellow J., Bulloough P. London, William Heinemann, 1980. pp. 126-151.
39. Urist MR, Dowell TA., Hay PH. et al. Inductive substrated for bone formation. *Clin Orthop.* 59: 59-72, 1968.
40. Burchard H. The biology of bone graft repair. *Clin Orthop.* 174: 29-42, 1983.
41. Enneking WF, Burchard H, Puhl JJ, et al. Physical and biological aspects of repair in dog cortical bone transplants. *J Bone Joint Surg.* 57-A: 232-257, 1975.
42. Urist MR. Practical application of basic research on bone graft physiology. Instruct Course Lect. 25: 1-12, 1976.
43. Reddi AH. Biologic principles of bone induction. *Clin Orthop North Am.* 2:207-212, 1987.
44. Rath NC, Reddi AH. Collageneus bone matrix is a local mitogen. *Nature.* 278:855-857, 1979.
45. Urist MR. Osteoinduction undermineralized bone implants modified by chemical inhibitors endogenous matrix enzymes. *Clin Orthop.* 87: 132-144, 1972.
46. Reddi AH. Cell Biology and biochemistry of endochondral bone development. *Cell Rel Res.* 1:209-226, 1979.
47. Abbott LC, Schottstaedt ER, Saunders JB, et al. The evaluation of cortical and cancellous bone as grafting material. *J Bone Joint Surg.* 29:381-414, 1947.

48. Deleu J, Trueta J. Vascularization of bone graft in the anterior chamber of eye. *J Bone Joint Surg.* 47-B: 319-329, 1965 .
49. Heslop BF, Zeis I.M, Nisbet NW. Studies on transference of bone. *Br J Exp Pathol.* 41: 269-277, 1960.
50. Anderson KJ, LeCocq JF, Akeson WH, et al. End-point result of processed heterogenous, autogenous and homogenous bone transplants in the human. *Clin Orthop.* 33: 220-236, 1964.
51. Stringa G. Studies of the vascularization of bone grafts. *J Bone Joint Surg.* 39-B: 395-406, 1957.
52. Keith CL, Gutentag J, Glover G.M. Localization of isotopes in bone grafts by autoradiography. *Plast Reconst Surg.* 14: 425-431, 1954.
53. Zeis M, Nisbet NW, Heslop BF. Studies on transference of bone. Vascularization of autologous and homologous implant of cortical bone in rats. *Br J Exp Pathol.* 41: 345- 352, 1960.
54. Amsel S, Dell ES. Bone marrow repopulation of subcutaneously grafted mouse femurs. *Proc Soc Exs Bio Med.* 138: 550-559, 1971.
55. Urist MR, McLean FC. Osteogenic potency and new-bone formation by induction in transplant to the anterior chamber of eye. *J Bone Joint Surg.* 34A: 443-470, 1952.
56. Hammack BL, Enneking WF. Comparative vascularization autogenous and homogeneous bone transplants. *J Bone Joint Surg.* 42-A: 811-817, 1960.

57. Enneking WF, Eady J.L, Burchard H. Autogeneous cortical bone grafts in the construction of segmental defects. *J Bone Joint Surg.* 62A: 1039-1048, 1980.
58. Stevenson JS, Bright RW, Dunson GL, Nelson FR. Technetium-99 phosphate bone imaging. *Radiology*. 110: 391-398, 1973.
59. Bassett CA. Clinical implication of cell function in bone grafting. *Clin Orthop.* 87: 49-55, 1972.
60. Ottolenghi CE. Massif osteoarticular bone grafts .Technic and result of 62 cases. *Clin Orthop.* 87: 156-164, 1972.
61. Tona EA, Cronkite EP. Cellular response to fracture studied with tritiated thymidine. *J Bone Joint Surg.* 43A: 352-358, 1961.
62. Buring K. Orgine of cell heterotopic bone formation. *Clin Orthop.* 110:293-299 1975.
63. Burwell RG. An analysis of factors leading to osteogenesis in marrow transplants and in marrow containing bone grafts. *J Bone Joint Surg.* 46B: 110-140, 1964.
64. Burwell RG. Fate of bone grafts. In: Recent advances in orthopaedics. Ed. Apley A.G. London, J and A Churchill Ltd, 1969. pp 115.
65. Burwell RG. The function of bone marrow in the incorporation of bone graft. *Clin Orthop.* 200: 125-140, 1985.
66. Chalmers J, Gray DH, Rush J. Observation in the induction of bone in soft tissues. *J Bone Joint Surg.* 57B: 36-44, 1975.

67. Langer F, Czitron A, Pritzker KP, et al. The immunogenicity of fresh and frozen allogenic bone. *J Bone Joint Surg.* 57A: 216-220, 1975.
68. Bos GD, Goldbert VM, Powel AE , et al. The effects of histocompatibility matching on canine frozen bone allografts. *J Bone Joint Surg.* 65A: 89-96, 1983.
69. Burchard H, Glowczewskie FP, Enneking WF. Allogenic segmental fibular transplants in azathioprine immunosuppressed dogs. *J Bone Joint Surg.* 59A: 881-894, 1977.
70. Bonfligo M, Jeter WS. Immunological response to bone. *Clin Orthop.* 87:19-27, 1972.
71. Elves MW, Prat IM. The pattern of new bone formation in isografts of bone. *Acta Orthop Scand.* 46:549-566, 1975.
72. Anderson KJ. The behavior of autogenous and homogenous bone transplants in the anterior chamber of the rat's eye: A histological study of the effect of the size of the implant. *J Bone Joint Surg.* 43A: 980-994, 1961.
73. Heiple KG, Chase SW, Herndon CH. A Comparative study of the healing process following different types of bone transplantasyon. *J Bone Joint Surg.* 45A: 1593-1613, 1963.
74. Goldberg VM, Stevenson S. Natural history of autograft and allograft . *Clin Orthop.* 224: 7-16, 1987

75. Imamaliev AS. The preparation, preservation and transplantation of articular bone and. In: Recent advances in orthopaedics. Ed. Apley GA. Baltimore, Williams & Wilkins, 1969.
76. Friedlander EG. The biological consequence of immunological events. *J Bone Joint Surg.* 73-A: 1119-1122, 1991.
77. Horowitz MC, Friedlander EG. Induction of specific T-cell responsiveness to allogeneic bone. *J Bone Joint Surg.* 73-A: 1157-1168, 1991.
78. Boby C, Thompson JR, Pickvance EA, et al. Fractures large- segment allografts. *J Bone Joint Surg.* 75-A: 1663-1763, 1993 .
79. Auorori BF, Weierman RJ, Lowel H.A, et al. Pseudartrosis after spinal fusion for scoliosis. *Clin Orthop.* 199: 153-158, 1985.
80. Osawa M, Hara H, Ichinose Y, et al. Cranioplasty with a frozen and autoclaved bone flap. *Acta Neurochir.* 102: 38-41, 1990 .
81. Köhler P, Kreicbergs A, Strömberg L. Physical properties of autoclaved bone. *Acta Orthop Scand.* 57: 141-146, 1986.
82. Köhler P, Kreicbergs A, Strömberg L. Incorporation of nonviable grafts. *Acta Orthop Scand.* 58:54-60, 1987.
83. Goldberg VM, Stevenson S. Bone transplantasyon. In : Surgery of the musculoskeletal surgery. Ed. by Evarts CM. New York Churchill Livingston, 2. Edit.1990. vol. 1: 115-149
84. Nakanishi K, Sato K, Sato T, et al. Preservatinon of bone morphogenetic protein in heat-treated bone. *Nippon Seikeigeka Gakkai Zasshi.* 66(9): 949-955, 1992.

85. Yalnız E, Aktaş Ş, Hüseyinova G, Kayapınar R. Otoklavizasyon ve dondurma işleminin tavşan kemik dokusunda oluşturduğu değişiklikler. *Acta Orthop Travmatol Turc.* 1:63-66, 1995.
86. Johonston JO, Harries TJ, Alexander CE, Alexander A.H. Limb salvage procedure for neoplazms about the knee by spherocentric total knee arthroplasty and autogenous autoclaved bone grafting. *Clin Orthop.* 181:137-145, 1983.